

注：2SK246は $|Y_{fs}| - I_D$ 特性より標準値を求める

[図52] FETの $|y_{fs}|$ と $C_{rss}$

小さいが、それでも $R_D$ が小さいほど $f_c$ は高くなる。

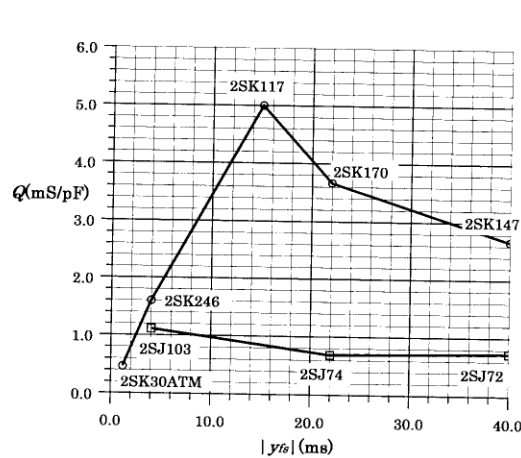
では $|y_{fs}|$ の大きなFETを使えばどうなるだろう。同じ $A_V$ を得るために必要な $R_D$ の値は小さくなる。 $|y_{fs}|$ が10倍のFETなら $R_D$ は1/10で良い。だから $f_c$ は10倍高くなる。しかし本当にそうなるだろうか。

### FETの $|y_{fs}|$ と帰還容量 $C_{rss}$ の関係

図52は上巻にも出たジャンクションFETの $|y_{fs}|$ と帰還容量 $C_{rss}$ の関係である。 $|y_{fs}|$ の大きなFETは $C_{rss}$ も大きい。初段はカスコードアンプなので、 $C_{rss}$ によるミラー効果は生じない。

しかし $C_{rss}$ が大きいFETは入力容量も出力容量も大きい、信号源インピーダンス（プリアンプ出力インピーダンス、チャンネルフィルター出力インピーダンス）とアンプの入力容量によって生じる $f_c$ が低くなる。だから $C_{rss}$ が小さいFETほど高域特性は良好になる。

図52ではNチャンネルFETとPチャンネルFETでは特性がはっきりと分かれ、PチャンネルFETは圧倒的に $C_{rss}$ が大きい。Nチャン



[図53] FETの $|y_{fs}|$ 対Q

ネルFETと同じ $|y_{fs}|$ を得るために大きな $C_{rss}$ が生じてしまう。コンプリメンタリーとして発売されている2SK246/2SJ103, 2SK170/2SJ74, 2SK147/2SJ72の組合せは耐圧やドレイン損失が等しく、 $|y_{fs}|$ もほぼ等しいが、 $C_{rss}$ は大幅に違う。高域特性に関してはコンプリメンタリーとは言えない。

さて、図52のNチャンネルFETに注目しよう。2SK117までは $|y_{fs}|$ が大きくなっても $C_{rss}$ はほとんど増えず、2SK170から $C_{rss}$ が緩やかに増加している。そこで少々見方を変えると面白い事実が判明する。

### $|y_{fs}|$ と $C_{rss}$ の比

$|y_{fs}|$ が大きいほどゲインの大きなアンプができる。 $C_{rss}$ が小さいほど高域特性の優れたアンプができる。ならば、 $|y_{fs}|$ と $C_{rss}$ の比をQとして、Q値でFETのクオリティが判断できるのではないか。このQ値が多いほど高域までゲインの高いアンプができることになる。

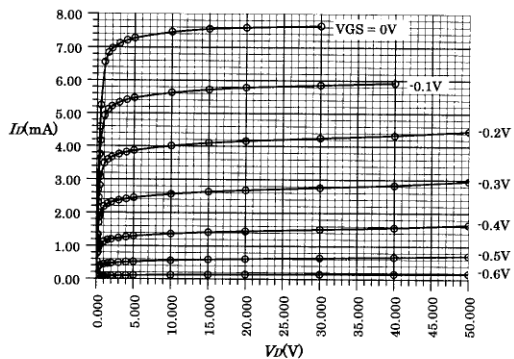
$$Q = \frac{|y_{fs}|}{C_{rss}}$$

図53はFETの $|y_{fs}|$ 対Qの関係

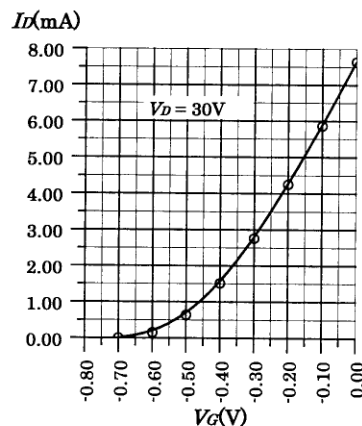
だ。極めて面白いこと、にここでもNチャンネルFETとPチャンネルFETがはっきりと分かれ、NチャンネルFETのQ値が高い。さらにNチャンネルFET中、2SK117が飛び抜けて大きなQ値を示している。コンプリメンタリーの相手のないFETだが特性は優れている。しかし完全対称アンプはコンプリメンタリーFETを必要としない。優れたデバイスを単独で使える。

ところで長年愛用してきた2SK30ATMのQ値は0.5mS/pFとPチャンネルのQ値よりも劣っている。デバイスとしてのクオリティは低いが、音が良いという理由を解明しなければならない。ただしアンプの高域特性を制限する原因になっていることだけは確かだ。

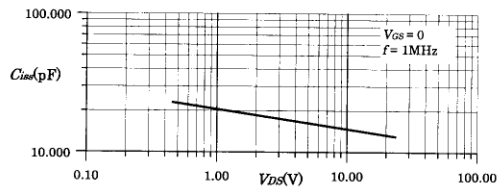
高域特性を拡大するためには2SK117が有利である。2SK30ATMと $|y_{fs}|$ を比較すると、2SK30ATMは1.2mSで、2SK117は15.0mS。その比は何と12.5倍。だから $R_D$ は1/12.5の1.44kΩ～2.88kΩで同じ $A_V$ になる。これで2段目入力部の $f_c$ は12.5倍高くなる。



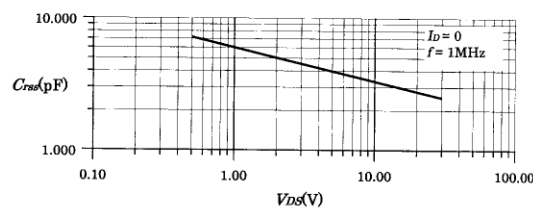
[図54] 2SK117の $V_{DS}$ 対 $I_D$ 特性



[図55] 2SK117の $V_{GS}$ 対 $I_D$ 特性



[図56] 2SK117の $V_{DS}$ 対 $C_{iss}$ 特性



[図57] 2SK117の $V_{DG}$ 対 $C_{rss}$ 特性

## 2SK117の $V_{DS}$ 対 $I_D$ 特性

図54は2SK117の $V_{DS}$ 対 $I_D$ 特性である。定電流領域が広く、各特性間の平行度が良く、優れた特性だ。

図55は図54の特性から $V_D = 30V$ （一定）の条件でゲート・ソース間電圧 $V_{GS}$ 対 $I_D$ の関係をプロットした $V_{GS}$ 対 $I_D$ 特性だ。FETの入力対出力の関係を示す重要な特性だ。このカーブの接線の傾きがまさに $|y_{fs}|$ である。 $I_D$ が大きいほど、 $|y_{fs}|$ は大きくなる。カタログデータは $I_D$ が最大時（ $I_{DSS}$ ）の値を示す。図52の $|y_{fs}|$ も $I_D = I_{DSS}$ の $|y_{fs}|$ だ。

実際のアンプでは、信号によって $I_D$ が変化する。その変化範囲を最大にするために、無信号時の $I_D$ を $I_{DSS}$ の1/2に設定する。2SK117に最も $I_{DSS}$ の大きなBLランクを使い、バラツキも考慮して、 $I_D$ を3.5mAに設定する。従って、 $|y_{fs}|$ が図52のデータより小さくなるので、 $R_D$ を5.6kΩにする。

## 初段FETの耐圧

2SK117のドレイン・ゲート間耐圧は50Vである。しかし実際にドレイン・ゲート間に25V以上かけるとゲートリーク電流 $I_G$ が急増する。この $I_G$ がTr<sub>1</sub>のゲート抵抗750kΩや信号源内部抵抗に流れでDC電圧が生じ、それがアンプで增幅されてオフセット電圧を発生する。 $I_G$ が多く、耐圧一杯の電圧がかけられないのは2SK117に限らない。耐圧が40Vの2SK170では20V以上かけられない。耐圧ぎりぎりまで高電圧をかけられるのは、2SK30ATMと2SK246のような $|y_{fs}|$ の小さなFETに限られる。

## 2SK117の電極間容量

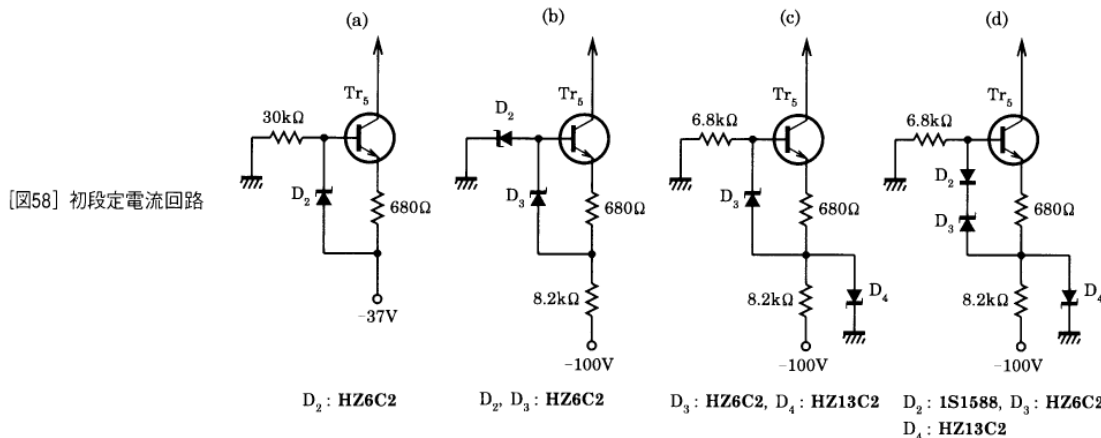
FETの電極間容量は電圧によって変化する。図56は2SK117の $V_{DS}$ 対 $C_{iss}$ 特性である。また図57はドレインゲート間電圧 $V_{DG}$ 対

$C_{rss}$ 特性である。 $C_{iss}$ は $V_{DS}$ が高い程は小さくなり、 $C_{rss}$ も $V_{DG}$ が高い程小さくなる。 $Q$ 値が高い

2SK117の特徴を活かすには、 $C_{iss}$ や $C_{rss}$ が小さくなるように $I_G$ が多くならない範囲で、 $V_{DS}$ と $V_{DG}$ を高く設定する。 $V_{DG}$ の最適値は15V～18Vだろう。 $I_D$ は3.5mA。この状態でカスコードアンプTr<sub>3</sub>、Tr<sub>4</sub>のコレクター負荷抵抗 $R_C$ を5.6kΩにすると、コレクター・エミッター間電圧 $V_{CE}$ は56Vになる。コレクター損失 $P_C$ は19.6mWになるが、最大 $P_C$ が300mWの2SC1775Aが使える。カスコード用Trによっても音が変わるので、2SC1775Aが使えるのはありがたい。

## オフセット調整ボリューム

オフセット調整ボリュームVR<sub>1</sub>によって差動アンプに電流帰還がかかる。この値が大きいほど帰還



量も多くなり、 $A_v$ が小さくなる。**2SK117**の大きな $|y_{fs}|$ を活かすにはVR<sub>i</sub>の値をあまり大きくしたくない。またVR<sub>i</sub>の値が大きいと、回転角による抵抗値の変化量が多く、調整し難くなる。

一方VR<sub>i</sub>の値によって音が変わり、小さいと元気の良い音、大きいと雰囲気のある音になる。ヒアリングの結果50Ωにした。

### 初段定電流回路

一般にアンプは商用電源から整流回路で作ったDC電源で動作する。その電源電圧は1次AC電圧の変動、負荷電流の変化等で絶えず変動する。不規則なパルス性ノイズや高周波ノイズも含まれる。これらの電源変動でアンプの動作が影響される。それを防ぐ正攻法はレギュレーターで安定化した電圧でアンプを動作させることだ。

しかしレギュレーターにはエネルギーロスが避けられない。特に電流の多いパワーアンプで電圧ロスのため、最大出力電力が低下する。レギュレーターの特性や使用デバイスによっても音が変わる。

現代DCアンプでは真空管イコライザーアンプを除いてレギュレーターを使わない。アンプの電源変動除去率が極限まで追求されて

いるからだ。

電源変動除去率は大部分初段で決まる。初段の動作点変動が2段目以降で増幅されて出力されるからだ。+電源変動はカスコードアンプで防げる。初段差動アンプの $V_{DS}$ を一定に保てるからだ。

-電源変動の除去効果は定電回路の安定度で決まる。その安定度はパラレルレギュレーターの(図58aの $R_R$ とD)電源変動除去効果で決まる。 $R_R$ が大きいほど、またDの動作抵抗 $r_D$ が小さい程除去効果は大きくなる。ところがこの2つの条件は両立し難いことだ。 $R_R$ を大きくするとDの電流が減り、 $r_D$ が大きくなるからだ。實際には $r_D$ があまり大きくならない範囲で $R_R$ を大きくしている。 $r_D$ の電流は1mA前後に設定している。この回路は-電源電圧が-37Vまでの比較的低い場合に適している。

-100V電源ではTr<sub>5</sub>の $I_c$ を7mAにした場合、コレクター損失 $P_c$ は658mWになり、**2SC1775A**では定格オーバーになる。**2SC1775A**と同特性の**2SD756**(600mW)でも定格オーバーだ。温度による $I_c$ の変動率を少なくするためにも $P_c$ はできるだけ小さく抑えたい。

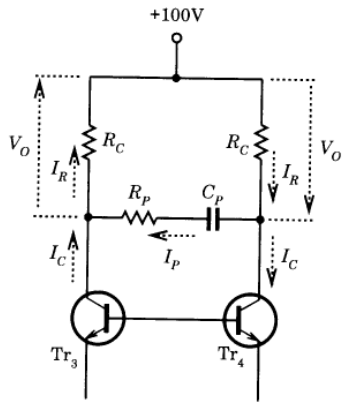
そこで図58bのようにD<sub>2</sub>, D<sub>3</sub>で

Tr<sub>5</sub>を動作させ、 $V_{CE}$ を6V以内にする。これなら $P_c$ は42mWになる。この回路は高電圧で動作させる定電流特性によく使われた。ところがシリーズ抵抗にはD<sub>2</sub>, D<sub>3</sub>の電流と $I_c$ が流れるので、抵抗値を小さくしなければならず、電源変動除去効果が少なくなる。

今回から登場する最新回路では2重レギュレーターを使って除去効果を高めている(図58c)。 $R_R$ とD<sub>4</sub>によるパラレルレギュレーターで安定化した電圧で定電流回路を動作させる。その定電流回路は $R_Q$ とD<sub>3</sub>によるパラレルレギュレーターで動作する。

この回路も温度が高くなるとTr<sub>5</sub>の温度特性のため、 $I_c$ が多少増加する。 $I_c$ の増加は差動アンプの $I_D$ を増加させ、出力段の $I_o$ を増加させる効果がある。出力段はサーミスターで温度補償されているとは言え、 $I_D$ の温度変化が少ないほど $I_o$ の安定度は高い。そこでTr<sub>5</sub>の温度補償をするため、図58dのようにD<sub>2</sub>を追加し、Tr<sub>5</sub>の $V_{BE}$ の温度特性を保証する。もちろんD<sub>2</sub>はTr<sub>5</sub>に熱結合する。

実は図58bの回路にTr<sub>5</sub>の温度補償ダイオードを追加したところ、そのわずかな動作抵抗のため、電源変動除去率がやや小さくなる



[図59] ステップ型位相補正回路

現象が発見された。その解決策として図58dの回路が生まれたのだ。この回路はシンプルだが電源変動除去効果でも温度安定度でも最強の定電流回路になるだろう。

### 位相補正

NFBを安定化するための位相補正是初段差動アンプの出力側、カスコードアンプTr<sub>3</sub>, Tr<sub>4</sub>のコレクター間にあるステップ型位相補正で行う。この型の位相補正是真空管パワーアンプやプリアンプでも共通なので、その周波数特性と位相特性を求めておこう。

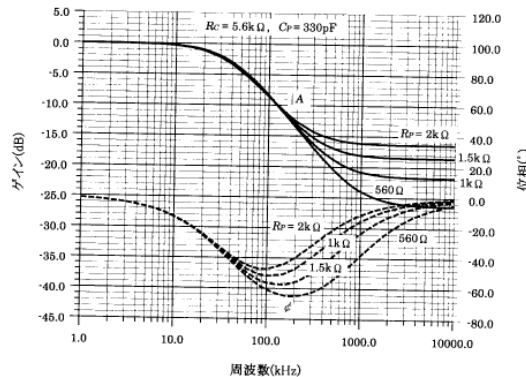
図59の回路でR<sub>p</sub>, C<sub>p</sub>がステップ型の位相補正回路である。この回路の入力信号はTr<sub>3</sub>, Tr<sub>4</sub>のコレクター間に等振幅、逆位相に流れる。出力信号はコレクター抵抗R<sub>c</sub>に生じる出力電圧V<sub>o</sub>である。R<sub>c</sub>に流れる電流I<sub>R</sub>は

$$I_R = \frac{V_o}{R_c}$$

R<sub>p</sub>, C<sub>p</sub>のシリーズ素子に流れ電流I<sub>p</sub>は角周波数をωとして、

$$I_p = \frac{2V_o}{\frac{R_p+1}{j\omega C_p}}$$

ただしj=√−1は虚数単位である。



[図60] ステップ型位相補正回路の周波数特性、位相特性

I<sub>c</sub>はI<sub>R</sub>とI<sub>p</sub>の和になるので、

$$I_c = I_R + I_p$$

$$I_c = \frac{V_o}{R_c} + \frac{2V_o}{R_p + \frac{1}{j\omega C_p}}$$

$$= V_o \left[ \frac{1}{R_c} + \frac{2}{R_p + \frac{1}{j\omega C_p}} \right]$$

これよりV<sub>o</sub>は

$$V_o = \frac{I_c}{\frac{1}{R_c} + \frac{2}{R_p + \frac{1}{j\omega C_p}}}$$

$$= \frac{\frac{I_c}{R_c} + \frac{2j\omega C_p}{1+j\omega C_p R_p}}{1+j\omega C_p(R_p+2R_c)} R_c I_c$$

中低域ではI<sub>p</sub>をゼロと見なすと、V<sub>o</sub>は単純にR<sub>c</sub>I<sub>c</sub>になる。そこで中低域のV<sub>o</sub>に対する相対的なゲインをAとすれば、

$$A = \frac{V_o}{R_c I_c} = \frac{1+j\omega C_p R_p}{1+j\omega C_p(R_p+2R_c)}$$

ここで周波数をfとして、

$$\omega = 2\pi f$$

$$\frac{1}{C_p R_p} = f_1$$

$$\frac{1}{C_p(R_p+2R_c)} = f_2$$

とおくと

$$A = \frac{1+j\frac{f}{f_1}}{1+j\frac{f}{f_2}}$$

となる。

Aは

$$A_1 = 1 + \frac{1}{j\frac{f}{f_1}}$$

$$A_2 = 1 + \frac{1}{j\frac{f}{f_2}}$$

の特性を合成して求めることができる。A<sub>1</sub>, A<sub>2</sub>は上巻のチャンネルフィルターに出てきたLPFの特性である。ゲインの大きさをdBで表示してA<sub>2</sub>とA<sub>1</sub>の差を取るとAの大きさが出る。またA<sub>2</sub>とA<sub>1</sub>の位相特性の差を取るとAの位相特性になる。

ステップの高さΔAは

$$\Delta A = \frac{R_p + 2R_c}{R_p} = \frac{f_2}{f_1}$$

となる。

図60はこうして求めたAの周波数特性と位相特性である。R<sub>c</sub>=5.6 kΩ, C<sub>p</sub>=330 pFとして、R<sub>p</sub>=560Ω, 1kΩ, 1.5kΩ, 2kΩについてグラフ化してある。C<sub>p</sub>を変えた特性は図60の特性を周波数軸に平行に移動すればよい。移動量はC<sub>p</sub>に反比例する。例えば

$C_p$ が1/2なら $f_1, f_2$ を2倍高くすればよい。

$A$ の大きさは中低域でフラットな特性が、 $f_2$ より下降を始め、 $f_1$ でフラットに戻る。中低域で $0^\circ$ の位相が $f_2$ から遅れ、 $f_1$ で再び $0^\circ$ に戻る。ステップ型は高域で位相が $0^\circ$ に戻るのが特徴だ。位相変移が少ない割にゲインを下げることができる。NFBの安定化に効果がある。単なるLPFでは高域でゲインが下降すると同時に位相も遅れも大きくなる。

$R_p, C_p$ の最適値は方形波応答をオシロで観測して決定する。オーバーシュートがない状態で、波形が最もシャープになる値が電気的最適値になる。本機では $R_p=1.5\text{k}\Omega, C_p=120\text{pF}$ のとき、応答波形が最もシャープになる。

最終的にはヒアリングテストで最適値を決める。聴感上の最適値は電気的最適値より、 $C_p$ が2~3倍になることが多い。 $C_p$ が小さいとやや細身で、シャープだがドライな音になる。 $C_p$ の最適値ではしっとりとした上品な音になり、しかも音楽的に芯の強い、表現力豊かでエネルギーに満ちたな音になる。広帯域に分散したエネルギーをオーディオ帯域に集中させる感じがする。もちろん超広帯域、超高分解能な音には変わりない。

## 2段目差動アンプ

初段差動アンプに大きな $A_v$ を設定してあるので、2段目差動アンプでは $A_v$ は大きくする必要がない。むしろ大き過ぎるとアンプ全体のオープンゲインが過大になる。2段目差動アンプの働きは初段の電流出力を受け取り、出力段の入力部であるゲート・ソース間抵抗 $R_{in}$ に電流を伝達し、ドライ

ブ電圧を発生させることにある。電流を伝達するだけのシンプルな動作でよい。

そこで、PチャンネルMOS-FET **2SJ77**のソースに抵抗680Ωを入れ、電流帰還をかけて $A_v$ を小さくすると同時に出力インピーダンスを高くして、電流源の働きをさせてある。

図61は電流帰還をかけた**2SJ77**の入力電圧 $V_i$ 対 $I_D$ 特性である。**2SJ77**は定電流特性のよいFETではないが、電流帰還によって見事な定電流特性になっている。 $-20\text{V}$ 以上の $V_{DS}$ 領域で使う限り、理想的電流源としての働きをする。

## 大電流型 MOS-FETの温度補償

初期のゲルマニウムTrパワーアンプはよく故障した。特別悪い使い方をしなくとも、いつの間にか壊れるケースもあった。原因是パワーTrの熱暴走。ゲルマニウムTrは後のシリコンTrに比較して（ゲルマニウム原子の性質上）温度に敏感なこと、許容コレクター損失が小さいこと、温度補償技術が確立されていなかったことが主な原因だった。この頃、温度補償にはサーミスター（温度係数が負の抵抗体）がよく使われた。

そして今、巨大な正の温度係数を持ったUHC MOS-FETの出現で、再びパワーアンプの温度補償が問題になる。これが不完全なアンプでは、熱暴走により、パワーデバイスが絶命し、しかもスピーカーまで道連れになるケースもあるから恐ろしい。

UHC MOS-FET温度補償の特効薬は、何と30年前に活躍したサーミスターである。まさに歴史は繰り返す。

## 温度補償方法

無信号時のドレン電流、すなわちアイドリング電流 $I_o$ を安定化するには、2つの方法がある。1つは電気的NFB。そしてもう1つは熱的NFBである。電気的NFBではDC成分と共に信号成分まで帰還されるので、見かけ上の電気的特性（デバイスそのものの特性ではなく）が変化する。

熱的NFBでは、電気的特性は変化しない。しかし熱の伝導経路、伝達速度、そして温度補償の効果が問題になる。パワーアンプでは通常、2種類のNFBを併用する。

## 電流帰還

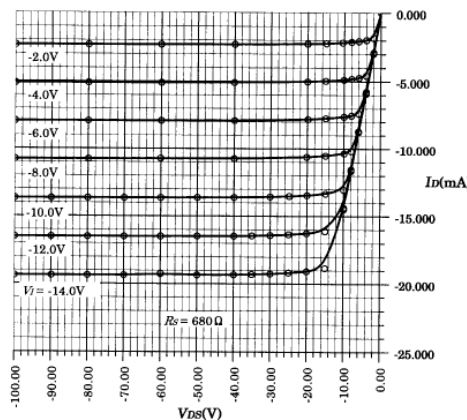
電気的NFBの最もシンプルかつ効果的な方法は出力段に電流帰還をかけることだ。図19で電流帰還の動作を考えよう。この場合、電圧増幅段は熱的安定度が高く、周囲温度等の変化に対する動作電流の変化は無視できるとしよう。実際、電圧増幅段の出力電流の温度係数は、大電流型MOS-FETに比較して桁違いに小さく、出力段の動作を論じるときには無視することができる。したがって出力段の無信号時DC入力電圧 $V_i$ は一定とする。

FETは $V_{GS}$ によって $I_D$ がコントロールされるデバイスだ。いま何らかの原因で、 $I_D$ が増えた場合、ソース抵抗 $R_s$ に生じる電圧 $R_s I_D$ が増加する。

$$V_{GS} = V_i - R_s I_D$$

なので、 $V_{GS}$ が減少し、 $I_D$ の増加を抑える働きをする。 $I_D$ が減少した時は $V_{GS}$ が増加し、 $I_D$ の変化を抑える。 $R_s$ が大きいほど、安定化の効果は大きくなる。

図22で見たように電流帰還によって出力段のゲインも変化する。安定化を重視して $R_s$ を大き



[図61] 2SJ77 (電流帰還) の $V_g$ 対 $I_d$ 特性

くすると、ゲインも小さくなり、せっかくの大電流型MOS-FETの特徴が活かせなくなる。

$R_s$ には0.1Ωを使う。たった0.1Ωでも $I_d$ の温度係数は格段に小さくなる。

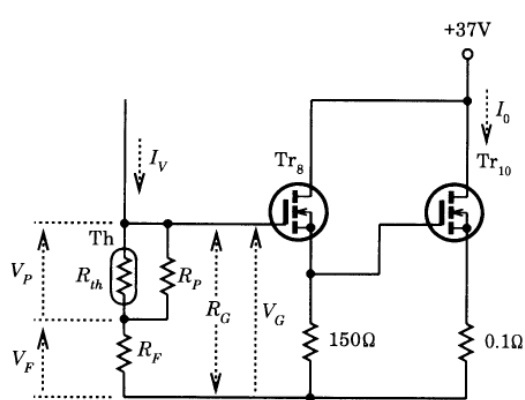
### 熱的NFB

図51のパワーアンプから出力段を取り出したのが図62である。この図で熱的NFBによる $I_o$ の温度補償について考えよう。電圧增幅段はその出力インピーダンスが極めて高く、電流出力アンプとして動作する。電流を受け取る側の電圧や入力インピーダンスに関係なく、入力信号に対応する出力電流を流出する。その無信号時の出力電流を $I_v$ とする。 $I_v$ は周囲温度の変化等に影響されない一定の電流である。

$I_v$ は出力段のゲート・ソース間抵抗 $R_g$ に流れ、出力段のバイアス電圧 $V_g$ を発生する。

$$V_g = R_g I_v$$

$I_o$ を決定するのは $V_g$ である。 $I_o$ を温度に関係なく一定にするには、出力FETの温度を検出し、その温度に対応して $V_g$ をコントロールすればよい。温度が高くなれ



[図62] 出力段の温度補償

ば $V_g$ を減少させ、温度が低くなれば $V_g$ を増加させねばよい。

$I_v$ は一定だから $R_g$ に負の温度係数の抵抗を使えばよい。負の温度係数を持った抵抗、それはサーミスターThに他ならない。

図62ではThにはパラレル抵抗 $R_p$ を接続し、これらの合成抵抗に固定抵抗 $R_h$ 820Ωをシリーズ接続してある。

$V_g$ は合成抵抗に生じる電圧 $V_p$ と $R_f$ に生じる電圧 $V_F$ の和になる。

$$V_g = V_p + V_F$$

$V_F$ は温度に影響されない一定値であり、 $V_p$ によって $V_g$ が変化する。

図63はDCパワーアンプの温度補償によく使うTh，石塚電子**200D5A**の温度対抵抗特性の実測特性である。同図には $R_p=220\Omega$ 及び $330\Omega$ の合成抵抗値もプロットしてある。

**200D5A**は温度が $0.0^{\circ}\text{C}$ から $90.0^{\circ}\text{C}$ まで変化する間に抵抗値 $R_{th}$ が $396.0\Omega$ から $32.8\Omega$ に変化する。 $R_{th}$ の温度に対する変化率は一定ではなく、温度が高くなるほど変化率は小さくなる。 $0.0^{\circ}\text{C}$ から $90.0^{\circ}\text{C}$ 間の平均温度係数は $-4.04\Omega/\text{C}$ だ。

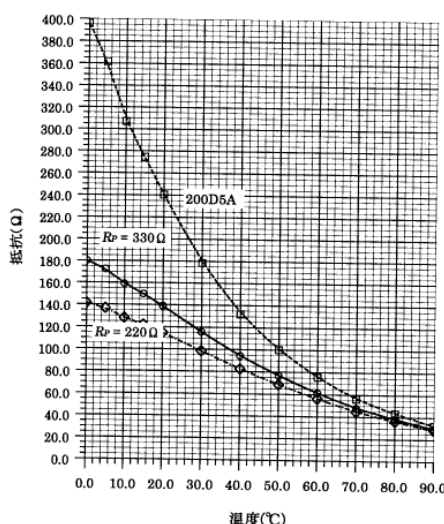
**200D5A**に $R_p$ をパラ接続すると抵抗変化率は小さくなるが、変化特性は直線的になる。

$I_v$ の設定値は $I_o$ によって多少異なるが、2.5mA前後である。合成抵抗に $2.5\text{mA}$ の $I_v$ を流したとき、 $V_g$ の温度特性は図64のようになる。 $V_p$ は $0.3\text{V}$ 前後の小さな電圧で、その温度係数は $-4.04\text{mV}/\text{C}$  ( $R_p=330\Omega$ ) または $-3.14\text{mV}/\text{C}$  ( $R_p=220\Omega$ ) である。意外に小さな温度係数で $I_o$ の温度補償が機能する。

Thによる温度補償のメリットは $V_p$ の割には大きな温度係数が得られることだ。この値は $I_v$ に比例し、 $I_v$ を大きくすると温度係数が大きくなる。また $R_p$ によっても温度係数を変化できる。

シリコンダイオードの温度係数は $-2.0\text{mV}/\text{C} \sim -2.5\text{mV}/\text{C}$ で順方向電圧は $0.6\text{V}$ だ。1V当たりの温度係数は $-3.3\text{mV}/\text{C} \sim -4.2\text{mV}/\text{C}$ と小さく、しかも動作電流で変化することはできない。

温度補償では温度検出するデバイスと補償されるデバイスとが同一温度でなければならない。そこでThをUHC MOS-FETに熱結合する。UHC MOS-FETの $I_o$ が増加して温度が高くなると、 $R_{th}$ が減少し、 $V_p$ が減少する。すると



[図63] サーミスターの温度特性

$V_o$ が減少し  $I_o$  が減少する。この動きは  $I_o$  の変化を補償する働きだ。 $I_o$  が減少したときは、逆の変化が起こり、 $I_o$  をもとに戻す働きをする。Thは温度の検出と  $V_o$  のコントロールの働きを同時にする。

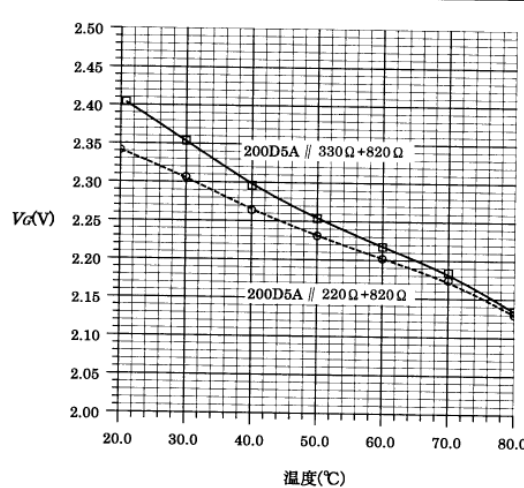
面白いのはUHC MOS-FETからThの熱伝導に要する時間である。この時間が長過ぎると温度補償に大きな時間遅れが生じる。いつも過去の温度を検出して、それに対応する  $V_o$  を発生する。極端な場合は  $I_o$  が増えたり減ったり振動する。

熱伝導の時間が短すぎると、信号による出力段  $I_b$  の平均値に追従して  $V_o$  が変化する。出力振幅が大きいときには  $V_o$  を減らして  $I_b$  を減らすというコンプレッサー現象が起こる。

熱伝導の適度な時間遅れは、ゆっくりした温度変化と、速く変化する信号成分を区別する重要な働きをしているのだ。

## P<sub>D</sub>リミッター

パワーアンプの出力端子がショートされても、信号が入力されな

[図64]  $V_G$ の温度特性

ければ問題ない。しかし出力端子ショート時に大きな信号が入ると、出力段のパワーデバイスの損失が規格をオーバーして、破壊する可能性が出る。そこで出力段デバイスの保護機能が必要になる。半導体パワーアンプには必要な機能である。

DCアンプでは出力段の  $V_{DS}$  と  $I_b$  を検出して、これらが設定値をオーバーした場合には出力段のドライブ電圧である  $V_o$  を下げて  $I_b$  を制限する。 $V_{DS}$  と  $I_b$  の積すなわちドレイン損失  $P_D$  に対応する電流制限型の保護回路なので、 $P_D$  リミッターと呼ぶことにする。

電源電圧が  $\pm 37V$  の出力段では  $V_{DS}$  と  $I_b$  の制限条件は図65のようになる。出力電圧  $V_o = 0V$  の時は、 $V_{DS} = 37V$  なり、 $I_b$  のリミット値  $I_M$  は負荷インピーダンス  $R_L$  によって、異なる値になる。 $R_L$  が低ければ、 $I_M$  を大きく設定しなければならないからだ。

図65には  $R_L = 6.2\Omega$ ,  $3.7\Omega$ ,  $1.85\Omega$  の特性を示してあるが、これらはスピーカーインピーダンスがそれぞれ  $8\Omega$ ,  $4\Omega$ ,  $2\Omega$  に対

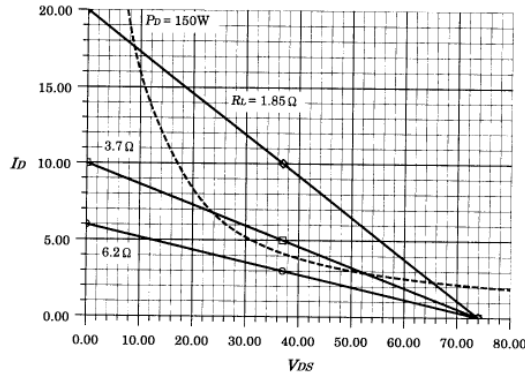
応する。スピーカーインピーダンスは公称インピーダンスより低くなることがあるからだ。

$V_{DS} = 74V$  では  $I_M$  は  $0A$ ,  $V_{DS} = 0V$  では  $V_o = 0V$  における  $I_M$  の 2 倍になる。

図中の波線は2SK2545の許容ドレイン損失  $150W$  のラインである。 $R_L = 6.2\Omega$  では許容ライン内にリミット値が入っている。しかし  $R_L = 3.72\Omega$  では  $V_{DS} = 22V \sim 52V$ ,  $R_L = 1.85\Omega$  では  $V_{DS} = 10V \sim 66V$  の範囲でリミット値が許容損失をオーバーしている。はたして大丈夫だろうか？

しかし心配はいらない。 $P_D = 150W$  の許容損失はDC値に対する値である。図66は  $R_L = 2\Omega$  における最大出力時の  $V_{DS}$ ,  $I_b$ ,  $P_D$  の波形である。出力段はB級動作で  $I_o = 0A$  とし、電源電圧は一定で ( $V_{DD} = \pm 37V$ ), 出力FETのソース抵抗  $0.1\Omega$  とMFBコントロールの電流検出抵抗によるロスを無視している。無信号時の動作点は  $V_{DS} = 37V$ ,  $I_b = 0A$  である。

$V_{DS}$  は  $37V$  を中心に  $0V$  から  $74V$  の範囲で変化する。 $I_b$  はB級動作のため半周期だけ流れ、そのピーク値  $I_{bmax}$  は  $18.5A$  だ。残りの半周



[図65]  $P_D$ リミッターの $V_{DS}$ 対 $I_D$

期はカットオフ状態になる。

最大出力電力 $P_o$ は

$$P_o = \frac{R_L I_{Dmax}^2}{2} = \frac{2 \times 18.5^2}{2} W_{RMS}$$

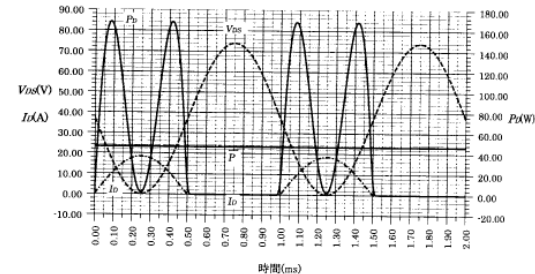
$$= 343 W_{RMS}$$

実際は $V_{DD}$ の降下や抵抗によるロスのため、 $P_{o_{max}}$ は小さくなる。

$P_o$ は $V_{DS}$ と $I_D$ の積として求める事ができるが、この波形が実に面白い。 $I_D$ のカットオフ期間中は0だが、 $I_D$ がオンの期間中に2度171Wのピーク値が生じる。この値は150Wの許容損失を超えていて、許容損失を超える時間は0.12msという短い時間である。この状態は許容損失が100WのUHC MOS-FETでも図5から安全であり、周波数が10Hzでも許容損失を超える時間は12msなので、安全なことがわかる。

$P_o$ の平均値 $\bar{P}_o$ は波形を時間的に積分して得られるが、その値はたったの46.5W。2個分でも93.0Wだ。理想的な条件と言え、B級アンプの効率の良さがうかがえる。

図67の出力段で $P_o$ リミッターは次のように設定する。Tr<sub>12</sub>は $I_D$ と $V_{DS}$ を検出すると同時に $P_o$ がリミット値をオーバーしたときには、 $V_g$ を下げて $I_D$ を制限する働きをする。Trはベースエミッター



[図66] 最大出力時の $V_{DS}$ ,  $I_D$ ,  $P_D$ 波形

まず $I_u$ の最大値、つまり $V_{DS}=0$ の時の $I_M$ から $R_1$ ,  $R_2$ を求める。  
 $R_2=1k\Omega$ とすると、

$$R_1 = \left[ \frac{I_M}{6A} - 1 \right] R_2$$

$$R_1 = \left[ \frac{I_u}{6A} - 1 \right] \times 1k\Omega$$

次に $I_D=0A$ の時の $V_{DS}$ （電源電圧の2倍の電圧）を $V_u$ として、 $R_3$ を求める。

$$R_3 = \left[ \frac{V_u}{0.6V} - 1 - \frac{R_2}{R_1} \right] R_2$$

$$= \left[ \frac{V_u}{0.6V} - 1 - \frac{R_2}{R_1} \right] \times 1k\Omega$$

$R_L=6.2\Omega$ の場合は $I_v=6A$ なので、 $R_2$ を使用せず、 $R_1=510\Omega$ として、 $R_3$ を求める。

## モーショナル フィードバック

モーショナルフィードバック(MFB)、この魅力的な響きを持つ方式は、電気的なネガティブフィードバック(NFB)系にスピーカなどの振動系を取り込み、これらを強制的に制御するテクニックだ。

振動系には振動状態を検出するコイルなどのセンサーをつける。これで検出された信号をアンプの入力にフィードバックする（図68）。アンプは入力信号とフィードバック信号が等しくなるように

動作する。だから入力信号と振動系の振動状態が等しくなるはずだ。

MFBはオーディオ機器の中で最も固有の癖を持つ振動系をフィードバックループの中に含めて、これを積極的に制御しようというテクニックだ。レコードのカッターヘッドのように鋭い共振特性を持つ振動系では、MFBの助けなしには実用にならない。

### MFBの問題点

MFBをスピーカーに応用すればスピーカー固有の癖が少くなり、情報量の多い再生音が得られるはずだ。しかし盛んに研究された時期があったものの、一般には普及していない。なぜだろう。

振動系には検出コイルなどが付属したMFB専用のスピーカーが必要だ。このセンサーの付加質量によって振動系本来の動きが鈍くなる。センサー取り付け部で共振が起こることもある。センサーを小型化し質量を少なくすると検出感度が悪くなる。その分アンプに高いゲインが必要になる。

NFBループには、電気系に比較してはるかに応答速度の遅い機械系が入る。その時間遅れによりフィードバックが不安定になりやすい。安定度を確保するために帰還量を少なくするとMFBの効果が少なくなる。深いMFBを安定にかけるには高度なテクニックが必要だ。

パワーアンプとスピーカーを常に一体化して使わなければならず、アンプとスピーカーの種々の組み合わせで使用するという汎用性に欠ける。

### スピーカーの逆起電力

MFB用の特殊なスピーカーを

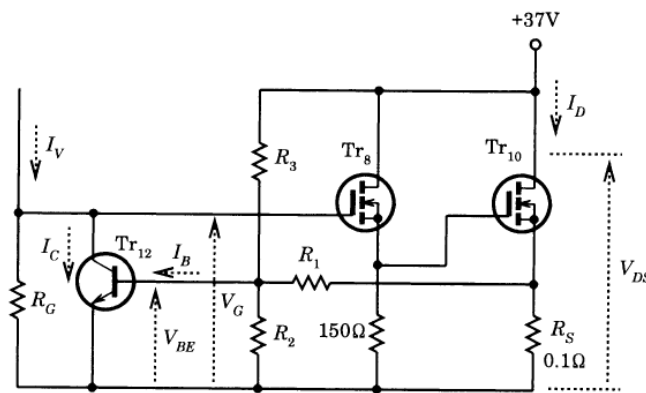


図67 P<sub>0</sub>リミッターの抵抗値

使わずに、もっと簡単にMFBが利用できないものか。MFBとはスピーカーの振動状態に対応したNFBをかけることである。

スピーカーの振動速度なら、センサーがなくても検出する方法がある。ボイスコイルは磁場の中で振動するから、電磁誘導の法則により、振動速度に比例する起電力が発生する。これはスピーカーの駆動電流とは逆位相のため逆起電力とも呼ばれる。

駆動電圧と逆起電力を分離することは難しい。同一コイルに発生する電圧だからである。しかし逆起電力が大きいと電流が流れ難くなる。同一駆動電圧に対して電流が流れにくいのでインピーダンスが高くなる。だからスピーカーのインピーダンス特性は振動系の振動速度を表していると考えて良い。

### スピーカーのインピーダンス特性

図69はシングルコーンスピーカーALTEC 755Eのインピーダンス特性である。最低インピーダンスは7.9Ωだが、f<sub>0</sub>（低域共振周波数=59Hz）ではインピーダンスが39Ωに上昇する。f<sub>0</sub>は振動系の等価質量（コーン+空気の付

加質量）と等価コンプライアンス（エッジ+ダンパーとエンクロージャ内の空気のコンプライアンス）による共振周波数である。

f<sub>0</sub>ではコーンの振動速度が最大になり、ボイスコイルに発生する逆起電力が最大になる。コイルに最も電流が流れ難くなるので、インピーダンスが最大になる。

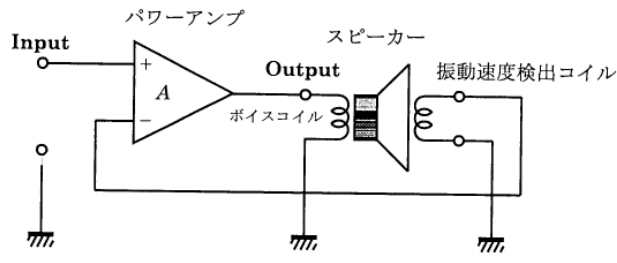
なお1kHz以上の周波数でインピーダンスが周波数に比例して上昇するが、これはボイスコイルのインダクタンスによる効果であり、振動速度とは直接関係ない。

### 完全対称アンプとNFB量

完全対称アンプの出力段はソース接地動作である。アンプの出力インピーダンス Z<sub>o</sub> は、無帰還時には図69のようにスピーカーのインピーダンス（負荷インピーダンス）Z<sub>L</sub> に対して高い値を示す。アンプの出力電流 I<sub>o</sub> が Z<sub>L</sub> に無関係な電流出力アンプの動作をする。

一方NFBをかけると Z<sub>o</sub> は激減し、アンプの出力電圧 V<sub>o</sub> が Z<sub>L</sub> に無関係な電圧出力アンプの動作に変わる。同一アンプがNFBにより電流出力アンプから電圧出力アンプに変化する。

Aは図70のように Z<sub>L</sub> に比例する。クローズドゲイン A<sub>nf</sub> は Z<sub>L</sub> に



[図68] MFB

無関係な一定値である。その結果、2つのゲイン差つまりNFB量は $Z_L$ とそっくりな特性になる。

完全対称アンプではNFB量がスピーカーの $Z_L$ に比例する。つまり振動系の振動速度に比例したNFB量がかかることになる。

従来の半導体パワーアンプの出力段は、100%電圧帰還がかかったエミッターフォロワーかソースフォロワーである。無帰還時の出力インピーダンスが低く、電圧出力アンプの動作をする。したがってNFB量は周波数に関係ない一定値になる。

完全対称アンプは $Z_L$ 特性（振動特性）に対応したNFB量がかかるという点で従来のパワーアンプとは性格が異なる。振動速度に対応したNFBなので、速度型MFB（モーションアルフィードバック）と解釈できる。

完全対称アンプが他のDCアンプでは得られ難いスピーカードライブ力を発揮するのはこのMFB効果によると考えて良いだろう。

### MFBコントロール

NFBによって音が変わる。だからNFB量には最適値がある。同様にMFB量にも最適値があるだろう。何事にも最適値があることはオーディオでもよく経験することだ。ではそのMFB量を自在にコントロールできないものか。

その悩みは図70を見ていると

には電圧帰還と電流帰還がある。共にゲインを減らす働きがあるが、 $Z_o$ に対する効果は互いに逆になる。電圧帰還は $Z_o$ を低くし、電流帰還は $Z_o$ を高くする。この二つの帰還を併用し、トータルのNFB量を一定に保ったまま、各NFB量の比率を変化させれば、 $Z_o$ を連続的に変化できる。トータルのNFB量が一定なら歪率も $A_{NF}$ も変化しない。

### イマジナリーショートの原理

NFBアンプの動作を解析するとき、有力な手段としてよく使用されるのがイマジナリーショートの原理である。

図71の差動アンプの $A$ が非常に大きい場合、出力電圧が最大出力電圧以内なら、アンプ自体の差動入力電圧は極めて小さい。この電圧は他の信号電圧に比較して無視できるほど小さいので、二つの入力端子がショートされているよう見える。

しかし本当にショートしたらアンプは動作しなくなる。だからイマジナリー（仮想）ショートと呼ばれている。つまりアンプが正常に動作しているときは2つの入力の電圧が等しいと見なして良い。

### 電圧帰還アンプ

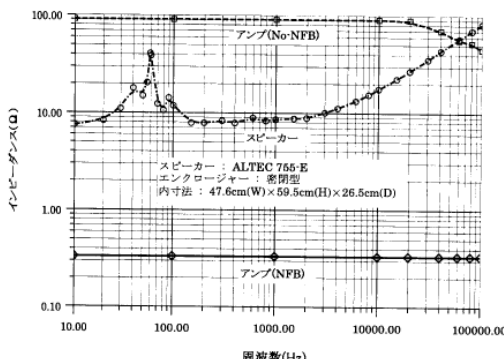
差動アンプは入力電圧 $V_I$ と帰還電圧 $V_F$ の差に比例した出力電圧 $V_o$ を作り出す。図71のアンプでは、 $V_F$ は $V_o$ を抵抗 $R_F$ 、 $R_S$ で分圧して作られる。だから $V_F$ は $V_o$ に比例する。これは電圧帰還アンプである。

$$V_F = \frac{R_S}{R_F + R_S} V_o$$

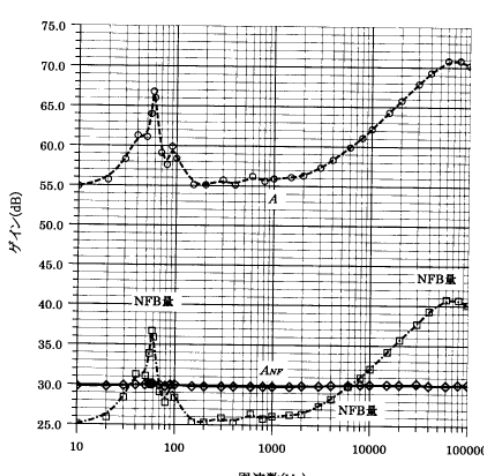
イマジナリーショートの原理により、 $V_I$ と $V_F$ が等しいと考えて、

### 電圧帰還+電流帰還

実はそれが可能なのだ。NFB



[図69] スピーカーとアンプのインピーダンス特性



[図70] 完全対称アンプのNFB量

$$V_I = V_F = \frac{R_S}{R_F + R_S} V_o$$

$$V_o = \frac{R_F + R_S}{R_S} V_I$$

$A_{NF}$  は

$$A_{NF} = \frac{V_o}{V_I} = \frac{R_F + R_S}{R_S}$$

$V_o$  は  $Z_L$  に関係なく  $V_I$  と  $A_{NF}$  によって決まる。これは電圧出力アンプであり、 $Z_o$  が  $Z_L$  に比較して非常に小さい状態だ。

### 電流帰還アンプ

図72で  $Z_L$  にシリーズに入った抵抗  $R_o$  は負荷電流  $I_L$  の検出抵抗だ。  $R_o$  にはこれを入れても  $I_L$  が変わらないように、 $Z_L$  に比較して非常に小さい値を使う。 $R_o$  に発生する電圧  $R_o I_L$  が  $V_F$  になる。 $V_F$  が  $I_L$  に比例するので、電流帰還アンプである。

イマジナリーショートの原理により、

$$V_I = V_F = R_o I_L$$

$$I_L = \frac{V_I}{R_o}$$

$$V_o = Z_L I_L = \frac{Z_L}{R_o} V_I$$

$$A_{NF} = \frac{V_o}{V_I} = \frac{Z_L}{R_o}$$

$I_L$  が  $Z_L$  に関係なく  $V_I$  と  $R_o$  によって決まる。これは電流出力アンプであり、 $Z_o$  が  $Z_L$  に比較して極

めて高い状態だ。 $V_o$  が  $Z_L$  に比例し、 $A_{NF}$  も  $Z_L$  によって決まる。

### 電圧帰還+電流帰還

$Z_o$  を低くしたければ電圧帰還を使う。 $Z_o$  を高くしたければ電流帰還を使えばよい。 $Z_o$  を連続的に変化させたいときは電圧帰還と電流帰還を併用し、トータルのNFB量を一定に保ったまま、各NFB量を互いに逆方向に変化させればよい。しかしアンプの他の特性、特に  $A_{NF}$  が変化してはならない。電圧帰還の  $A_{NF}$  と電流帰還の  $A_{NF}$  を等しくするには

$$\frac{R_F + R_S}{R_S} = \frac{Z_L}{R_o}$$

このような条件を満足する回路が図73である。 $R_F$  と  $R_S$  で  $V_o$  を検出し、 $R_o$  で  $I_L$  を検出する。これらの検出電圧をボリュームVRでミックスする。VRの回転角により、2つの帰還量を連続的に変化できる。このミックスされた電圧を  $V_F$  としてアンプの初段入力に帰還する。

完全対称アンプは無帰還時の  $Z_o$  が  $Z_L$  に比較して高い。だから  $Z_o$  を高くしたいときでも電流帰還を多くする必要はない。また実際の

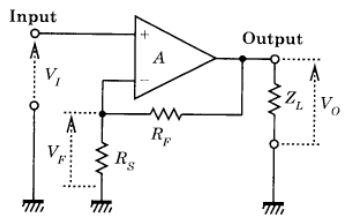
パワーアンプでは  $Z_o$  を  $Z_L$  に比べて高くすることはない。だから電流帰還量が多くなり過ぎないようにVRにシリーズに固定抵抗を入れる。

$R_o$  は出力電力の一部をロスするので、できるだけ小さい値にしたい。しかしあまり小さくすると、 $A_{NF}$  が高くなり過ぎる。そこで  $Z_L$  が 8 Ω の場合は  $R_o$  を 0.68 Ω、4 Ω では 0.33 Ω、2 Ω では 0.1 Ω とする。

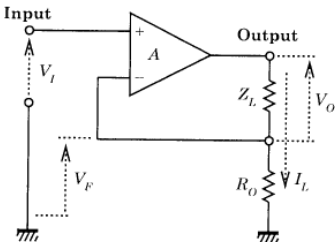
### 純抵抗負荷時の特性

MFBコントロールの効果を確認するために、A級30W/AB級50WオールFETパワーアンプの特性を観察する。このアンプは最初にMFBコントロールを搭載した記念すべきアンプであり、出力段は2SK134完全対称アンプの極めてシンプルな構成だ。

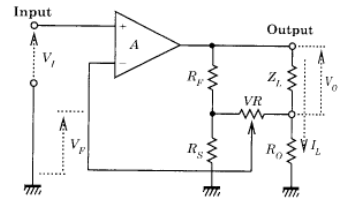
図74は純抵抗負荷（8 Ω）時のゲイン周波数特性である。Aは54.5dB、高域のカットオフ周波数は50kHzである。 $A_{NF}$  は電圧帰還最大時（VNF:max）では31.1dB、電流帰還最大時（CNF:max）では30.7dB、ゲイン差はわずか0.4dB、NFB量は23.4dB～



[図71] 電圧帰還アンプ



[図72] 電流帰還アンプ



[図73] 電圧帰還十電流帰還

23.8dBだ。

図75はZ<sub>o</sub>の周波数特性である。これはオンオフ法で測定した。Z<sub>o</sub>は帰還方法によって大幅に変化する。VNF:maxでは0.7Ωで最低値になり、CNF:maxでは17Ωと最高値になる。

図76はMFB-VRの目盛対Z<sub>o</sub>及びダンピングファクターDF特性だ。VRの回転角によって、Z<sub>o</sub>は0.7Ωから17Ωまで連続的に変化し、DFは11.5から0.47の間を変化する。

### スピーカー負荷時の特性

今度はスピーカー負荷時のA<sub>VF</sub>を比較しよう。図77がその特性だ。VNF:maxでは電圧出力アン

プの特性を示し、Z<sub>o</sub>に関係なくフラットな特性になる。一方、CNF:maxでは電流出力アンプの特性になり、Z<sub>o</sub>とそっくりな周波数特性になる。これらの特性間をVRの回転によって連続的に変化する。

### スピーカーの音圧周波数特性

いよいよMFBコントロールによるスピーカーの音圧周波数特性の変化を調べよう。図78が問題の特性だ。音圧はDCマイク（モノーラル用1号機）で検出、スピーカーとマイク間の距離は1mである。ただし無響室ではなく12坪の実験室内の測定なので、部屋の定在波の影響で、スピーカーの置

場所や向きによって音圧特性が変化する。したがって帰還方式による相対的な差を知るのが目的だ。また1kHz以上では人が動いただけで音圧分布が変化する。そこで測定期間は1kHzまでとした。

パワーアンプの入力電圧は-31.2dB/V (const) としたので、出力電圧は1Vになり、スピーカーの入力電力は0.13Wになる。

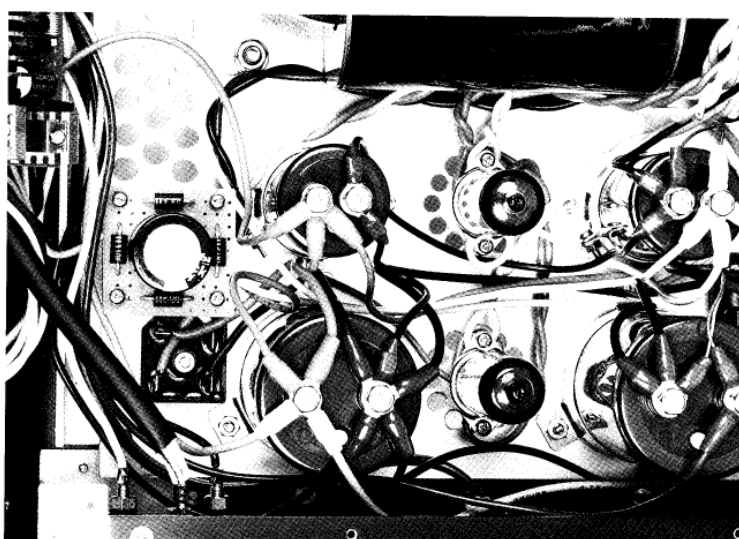
MFB量の差による特性差は低域で顕著になる。スピーカーの入力電力はf<sub>0</sub>で最大になるが、音圧特性はf<sub>0</sub>以下の周波数にまで差が生じ、55Hzで6dBに達している。出力インピーダンスが高く、MFB量が少い程、スピーカーの低域共振特性が現れやすくなり、低域が上昇する。

磁気回路が強力でオーバーダンプのスピーカーを密閉箱に入れて使うと、低域がゆるやかに下降する特性になる。このようなときはMFB量を減らし、低域共振特性を適量活かすと低音が豊かになるだろう。

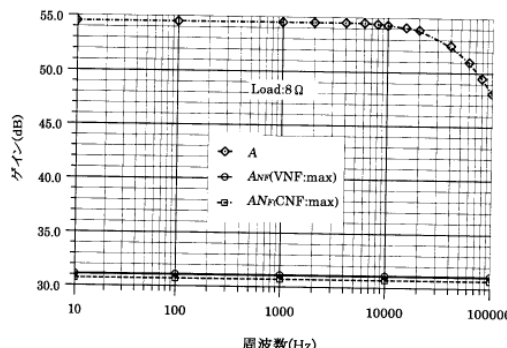
バスレフ型エンクロージャの場合には低音のボンついた感じをなくすようにMFBを多めにかけた方がよい。

### 電源部

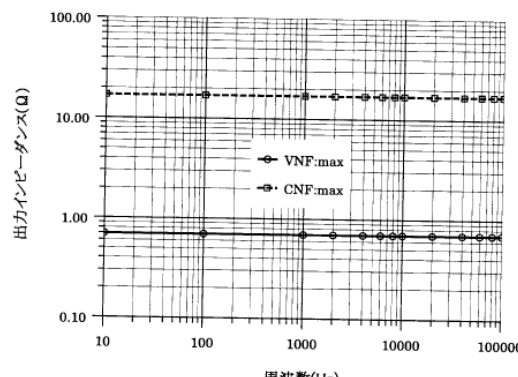
図79は電源部である。本機に必要な電源は電圧增幅段用が±100V、出力段用が±37Vの計4



電源部の整流回路にはシリコンダイオードと整流管を必要に応じて使い分ける



[図74] 純抵抗負荷時のゲイン周波数特性



[図75] 出力インピーダンス周波数特性

電源だ。半導体パワーアンプでは電圧増幅段用電源電圧はもっと低くても良い。+電源は70V、-電源は16Vもあればよい。±100Vの電源は整流管による整流回路の発展まで考えているのだ。16Vのような低い電圧は整流管では実用性がない。

パワートランジスタには4個の6.3V巻き線がついている。この内2個の1A巻き線は整流管のヒーター用、他の2個はハイブリッドパワーアンプアンプに進化するときの巻き線だ。ハイブリッドと言ってもそれほど大げさなアンプではない。初段差動アンプのFETを5極管に交換するものだ。これだけで音楽表現力がかなり変わる。6.3V巻き線は5極管のヒーター用巻き線だ。自作アンプこそ自由に進化できる可能性とゆとりを持たしておくべきだ。今すぐ役に立たなくともきっと役に立つときが来る。

## DCオフセット保護回路

大電流型FETパワーアンプでは出力段FETの $P_n$ が規格をオーバーしないように $P_n$ リミッターを備えている。しかし何らかのトラブルで出力端子にDC電圧が生じた場合の保護はできない。トラブルとはプリアンプ出力にドリフト

が生じるとか、パワーアンプが何らかの原因で故障した場合である。万が一の不測の事態でもスピーカーは保護しなければならない。そこでDC分に対する保護回路、高速電子保護回路を搭載する。

## 保護回路の方式

スピーカーを保護する最も簡単かつ原始的な方法はパワーアンプ出力とスピーカー間にリレーを入れることだ。しかしこれでスピーカーが安全かと言うと必ずしもそうではない。リレーのような機械的接点では動作時間が遅いだけでなく、動作時にチャタリングと言って接点が振動してオン、オフを繰り返す現象がある。しかも大事なオーディオ信号が接点を通るので、音質劣化を覚悟しなければならない。

最も安全確実で音質劣化のない方法は半導体スイッチを使ってパワーアンプ出力段の電源をオフすることだ。半導体スイッチには大電流型FETという理想的なスイッチがある。何しろオン抵抗が5mΩ、電流を20A流しても電圧降下はわずか0.1Vである。しかも高速スイッチング動作で、ドライブも極めて簡単だ。

## 保護回路の目標

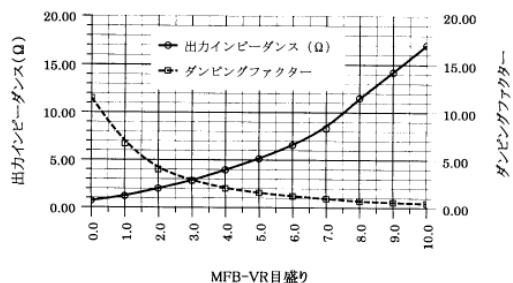
保護回路は以下のような目標で設計する。まずできるだけシンプルで確実なことだ。保護回路が複雑で製作が困難、しかも保護回路自体でトラブルが起きるようでは話にならない。保護回路は信頼度が最も大切だ。

次に今まで製作したパワーアンプに何ら変更を加えなくても、保護回路を追加できることだ。今までのアンプを保護回路のためにわざわざ作り直すのは大変だ。簡単に追加できるためには、保護回路がコンパクトでなければならぬ。追加に要するケース加工もごく簡単に済むようにしたい。

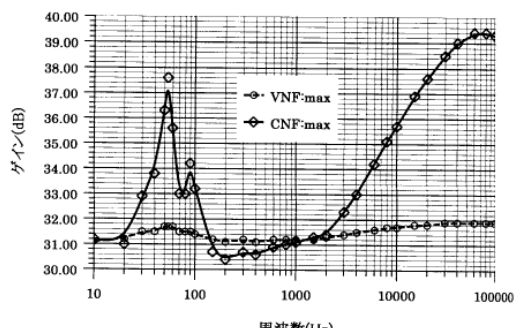
スイッチング素子にはパワーアンプ出力段と同一のFET、**2SK2554**を使用する。特別なFETは使わない。これならペア選別に漏れたFETを使える。

1台の電源で複数のパワーアンプを使用する場合を考慮して、DC電圧検出部と制御部を分離する。DC電圧検出部を各パワーアンプに内蔵し、制御部を電源に搭載する。これなら制御部は1台だけよい。

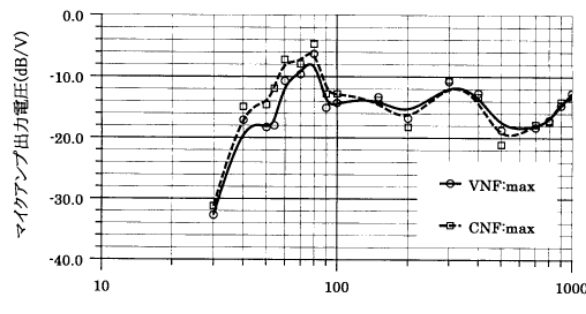
本保護回路の方式は半導体DCパワーアンプだけでなく、真空管DCパワーアンプにも応用できる



[図76] MFB-VR目盛対 $Z_o$



[図77] スピーカー負荷時の $A_{NF}$

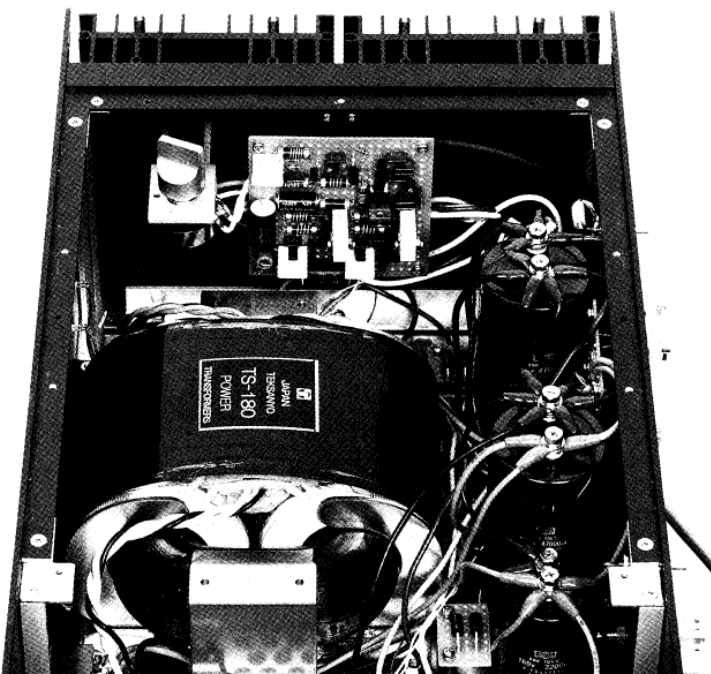


スピーカー : ALTEC 755-E  
エンクロージャー : 密閉型  
内寸法 : 47.6cm(W)×59.5cm(H)×26.5cm(D)  
マイク : DCマイク スピーカーマイク間距離 : 1m  
パワーアンプ入力電圧 : -31.2dB/V

[図78] スピーカー音圧周波数特性

ようとする。以上極めて欲張った目標だが、デリケートな音を対象

とするアンプよりは設計がはるかに簡単だ。



電源一体型アンプの製作例

## DC電圧検出部

図80はDC電圧検出部である。パワーアンプ出力端子のDC電圧(オフセット電圧 $V_0$ )を監視して監視して、 $V_0$ が±0.6Vの範囲をオーバーしたら、検出信号を発生する。±0.6V以内なら何も起こらない。 $Tr_1$ ,  $Tr_3$ が+電圧検出素子; $Tr_2$ ,  $Tr_4$ が-電圧検出素子である。これらはバイポーラトランジスターのベース・エミッター間電圧が0.6V以上でコレクター電流が流れる(オンになる)性質を利用している。

DC検出部は出力端子の信号電圧に反応してはならない。入力部の $150k\Omega$ と $10\mu F$ によるローパスフィルターは信号成分をカットしてDC成分のみ検出 $Tr$ に伝達する。

本保護回路を電源分離型パワーアンプにも応用できるように、DC検出信号をただ1本の信号ラインで制御部に伝達する。多数の信号ラインが必要なら、そのためのコネクターを増設しなければならなくなるからだ。また他のアンプの信号ラインも同時に制御部に接続されることも考慮しなければならない。

図80で正常時には全てのトランジスターがオフである。アンプのDC出力電圧が+0.6Vを超えた

場合には、 $Tr_1$ または $Tr_3$ がオンになる。DC電圧が-0.6Vを超えたときは $Tr_2$ または $Tr_4$ がオンになり、これらのコレクター電流で $Tr_5$ がオンになる。さらに $Tr_1$ 、 $Tr_3$ 、 $Tr_5$ のいずれかがオンになれば、制御部から検出端子Det ( $Tr_1$ 、 $Tr_3$ 、 $Tr_5$ のコレクター)に電流が流れ込む。Detラインは他のアンプのDC検出部とも共通に接続されている。だからいざれかのアンプでDC出力電圧が発生すれば、制御部に検出信号が伝わることになる。つまりDC電圧検出に対してOR動作をしているのだ。

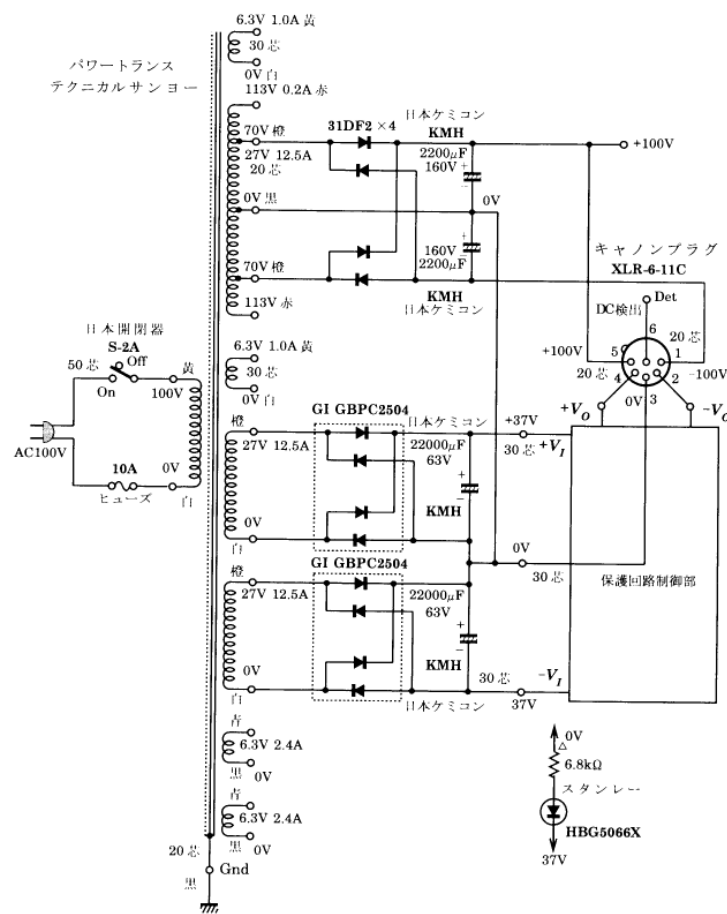
## 制御部

図81は保護回路の制御部である。制御部は電源電圧をオン・オフするスイッチ部と検出部からの信号を記憶し、スイッチをコントロールする記憶部からなる。 $Tr_1$ は+電源のスイッチ素子、 $Tr_2$ はその制御素子、 $Tr_3$ は-電源のスイッチ素子、 $Tr_4$ 、 $Tr_5$ はその制御素子である。

正常時では $Tr_3$ 、 $Tr_4$ 、 $Tr_5$ は全てオフである。定電圧ダイオード $D_1$ 、 $D_2$ がオンになり、 $Tr_1$ 、 $Tr_2$ は6Vのゲート・ソース間電圧によりオン状態になる。オン状態では $Tr_1$ 、 $Tr_2$ のオン抵抗が極めて低く、入出力間の電圧は無視できる。

NANDゲート4011BPは記憶部だ。DC検出信号は長時間に渡ることもあるが、そこで安全のため、たとえ一瞬でもDC電圧が検出されればその状態を記憶して、電源電圧をオフにする。復帰するには一度電源を切ってリセットボタンを押し、再度電源を入れなければならぬ。

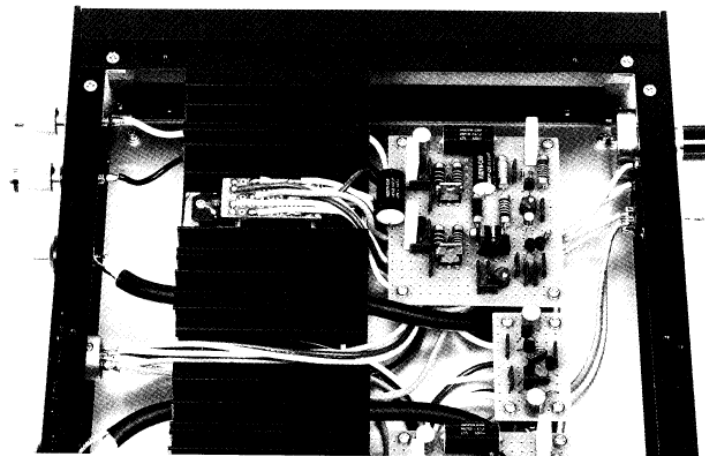
$G_3$ と $G_4$ はリセットセットラッチを構成し、その出力レベルは $G_3$ が



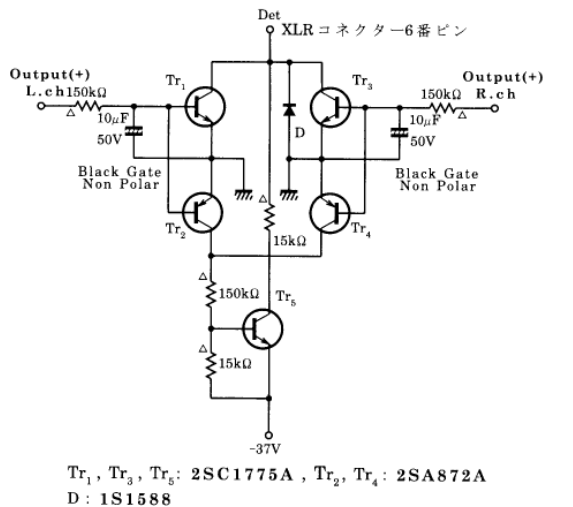
[図79] 電源部

H (6V) なら $G_1$ はL (0V)、または $G_3$ がLなら $G_4$ はHのどちらかの状態だ。 $G_3$ と $G_4$ の入力が共にHの

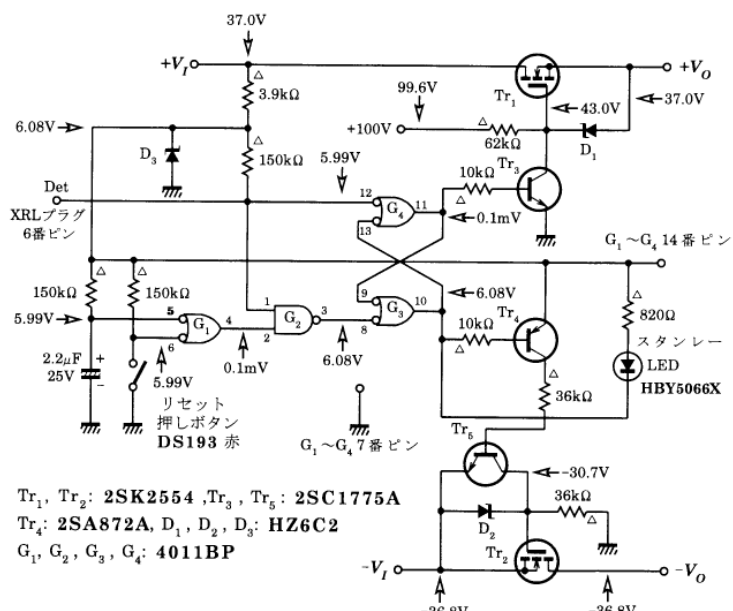
場合、この状態を保ち続ける。現在出力がLのゲートの入力が、HからLに変わると状態が反転する。



電源分離型アンプの製作例



[図80] 保護回路検出部



[図81] 保護回路制御部

一度状態が反転すると、もう一方のゲートの入力がHからLに変わらない限り、状態を記憶し続ける。

G<sub>1</sub>は電源オン時のリセット（パワーオンリセット）または手動リセット用のORゲートである。G<sub>2</sub>はDC分が検出されてない場合（入力レベルは150kΩプルアップ抵抗によりH）のみ、リセット信

号をラッチに伝えるためのANDゲートである。DC分が検出されている時、手動リセットを無効にするためにセット優先ラッチを構成している。

電源スイッチをオンにしたとき、パワーオンリセットにより、正常時なら、G<sub>4</sub>の出力はL、G<sub>3</sub>の出力はHである。そこで、Tr<sub>3</sub>はオフ、Tr<sub>4</sub>、Tr<sub>5</sub>もオフになり、

Tr<sub>1</sub>、Tr<sub>2</sub>はオンになる。

DC分が検出されたときは、プルアップ抵抗150kΩからDet端子に電流が流れるために、G<sub>1</sub>の入力がLになり、G<sub>4</sub>の出力がHに、G<sub>3</sub>の出力がLになる。そこでTr<sub>3</sub>がオンになり、そのコレクタ電圧が0Vになる。Tr<sub>1</sub>のゲートソース間電圧が0VになるのでTr<sub>1</sub>はカットオフする。またTr<sub>3</sub>、Tr<sub>4</sub>がオンになり、Tr<sub>2</sub>のゲート・ソース間電圧が0VになるのでTr<sub>2</sub>はカットオフする。

本保護回路では－電源のスイッチ素子にPチャンネルFETを使わず、+電源と同じ2SK2554を使用する。2SK2554ほどの大电流、超低オン抵抗の素子がPチャンネルにはないからだ。

## 電源一体型と電源分離型

DCパワーアンプの構成には電源一体型と電源分離型がある。2台のアンプと電源を同一ケースにまとめたのが電源一体型である。ネットワーク方式のシステムには一体型がマッチする。電源とアンプ間はコネクターを介さず、最短距離で結合されるので、アンプのスピーカー制御力がストレートに発揮できる。振動系の重いダブルウーファーやマルチアンプシステムのウーファーに最適な方式だ。地を這うような超低音の再生はこの方式の著しい特徴だ。

電源分離型はアンプ部と電源部を分離して別ケースに組む。アンプと電源間はコネクターとコードで接続する。1台の電源部から3台のパワーアンプアンプに電源を供給できるので、マルチアンプシステムには最適の構成だ。運搬も楽で、実験や改良がしやすいので研究用アンプとしても活躍する。回路やパーツの比較試聴も迅速に

できる。

分離型ではアンプを多数製作するので、各アンプの回路はできるだけシンプルにしたい。そこで出力段はダーリントン構成にする。

一体型は $4\Omega$ 、 $2\Omega$ と言ったローレインピーダンス負荷用で、しかもハイパワーの目的に使われることも多い。出力段の効率を高めるためにSFドライブを使う。

## 8Ω負荷、4Ω負荷 パワーアンプ

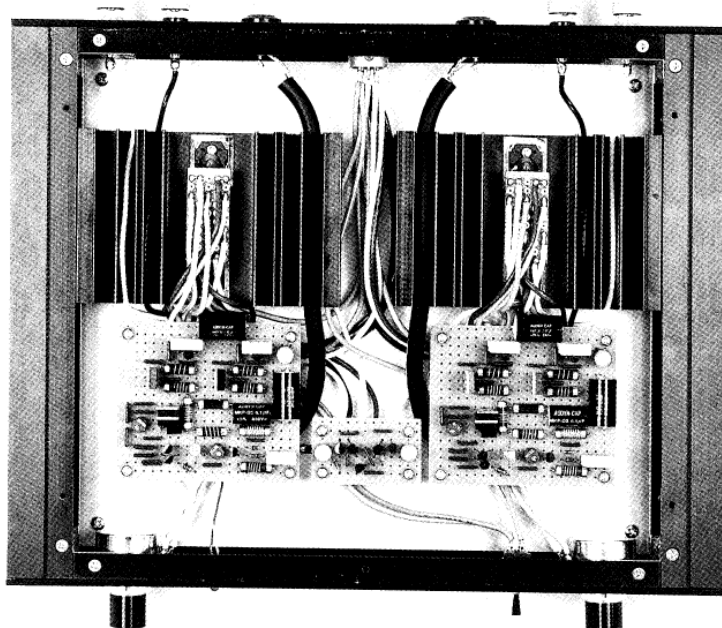
図82は8Ω負荷パワーアンプ、図83は4Ω負荷アンプである。回路構成もアンプの規模も同一だ。違いはMFBコントロールの電流検出抵抗 $R_o$ と $P_p$ リミッターの抵抗値だ。 $R_o$ は $Z_L$ に対応して決める。8Ω用では $0.68\Omega$ 、4Ω用では $0.33\Omega$ である。この値でVNF: maxとCNF:maxの特性が一致する。

$P_p$ リミッターは図65のような条件で出力段の $P_p$ を制限する。4Ω用アンプは8Ωにも使える。逆に8Ω用アンプに4Ωのスピーカーをつなぐと、 $P_p$ リミッターが6Ω負荷に対応して動作するので、最大出力電力が減少する。

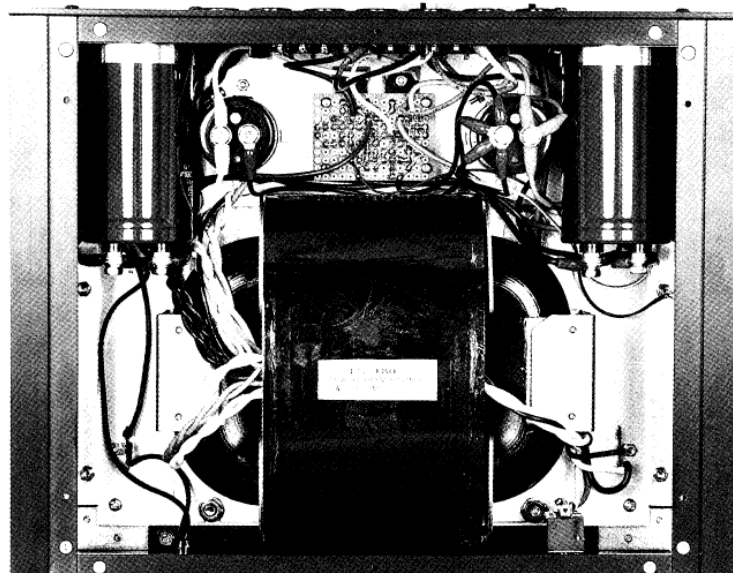
8Ωや16Ωのスピーカーを使う時は8Ω用アンプを作る。4Ωのスピーカー用には4Ω用を作るとよい。

図82、図83のスイッチSWはスタンバイスイッチだ。電源供給時でもSWがオフなら2段目以降のFETが全てカットオフする。この状態では入力ピンジャックを差し替えて、スピーカーをつなぎ変えても良い。ヒアリングテストには便利な機能である。

マルチアンプでは各アンプのSWをオンにしておくと、電源SWだけで、全てのアンプを同時にオ



アンプ部は薄型ケースのタカチOS49-26-33BXに実装。内部には左右のアンプ基板に加え、DCオフセットが生じた際に出力段電源を遮断する保護回路のDC検出基板を内蔵している

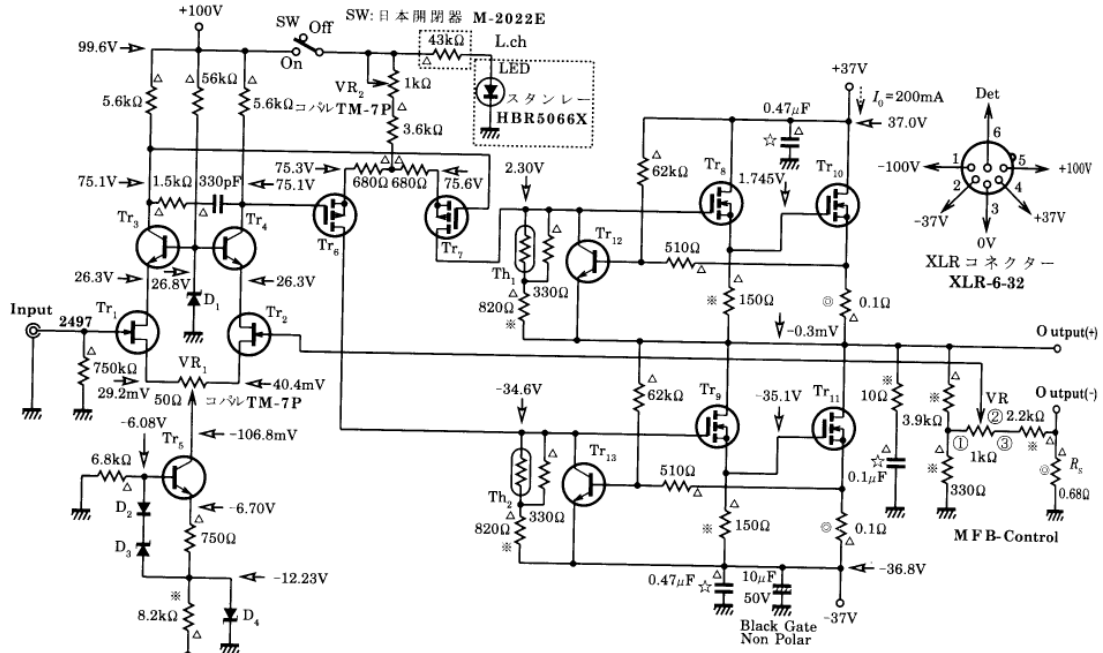


アンプ部を2台、3台と増設したマルチアンプシステムにも対応する。大型Rコアトランスを内蔵した電源部。中央上側の基板は、出力段電源をオン・オフする保護回路制御部。出力段電源整流用ブリッジダイオードと±100V整流ダイオード基板は大型ケミコン下に配置

ンオフできる。

バイSWである。

SW本来の働きは初段が真空管のハイブリッドパワーアンプで、真空管のヒートアップ時のスタン



$Tr_1, Tr_2 : 2SK117BL$ ,  $Tr_3, Tr_4, Tr_5 : 2SC1775A$ ,  $Tr_6, Tr_7 : 2SJ77$ ,  $Tr_8, Tr_9 : 2SK214$ ,  $Tr_{10}, Tr_{11} : 2SK2554$ ,  $Tr_{12}, Tr_{13} : 2SD756$   
 $D_1 : HZ18C2$ ,  $D_2 : 1S1588$ ,  $D_3 : HZ6C2$ ,  $D_4 : HZ13C2$ ,  $Th_1, Th_2 : 200D5A$ ,  $Tr_1$ と $Tr_2$ ,  $D_2$ と $Tr_5$ ,  $Tr_6$ と $Tr_7$ ,  $Th_1$ と $Tr_{10}$ ,  $Th_2$ と $Tr_{11}$ は熱結合  
 $Tr_{10}, Tr_{11}$ は放熱器TF1208に取り付ける ※:スケルトン, ◎:福島双羽MPC74, ☆:AUDYN CAP(TRITEC) MKPQS

[図82] 8Ω負荷パワーアンプ

## 製作

### FETの測定

DCアンプではオフセット電圧 $V_o$ とアイドリング電流 $I_o$ の安定度が特に重要だ。 $V_o$ の安定度を左右するのは初段差動アンプ $Tr_1$ ,  $Tr_2$ のマッチングである。 $I_o$ の安定度を決めるのは出力FETと温度補償用サーミスターの熱結合だ。

**2SK117**は図84の回路で $I_{DSS}$ を測り、その差が0.2mA以内のものでペアにして差動アンプに使う。

本機のような完全対称アンプでは出力段にも電圧ゲインがある。だから出力FET ( $Tr_{10}$ ,  $Tr_{11}$ ) の特性差が少ないほど、歪みが少なくなる。**2SK2554**は図85の回路で $I_b$ を200mAに調整し、このときのゲート・ソース間電圧 $V_{GS}$ を測り、この差が少ないものをペアにして出力段に使う。ペア選別に外れたFETは保護回路に使う。

### 熱結合

図86は熱結合図である。 $Tr_1$ と $Tr_2$ は平らな面どおしを接着する。**2SK117**はドレインとソースの互換性があるので、熱結合には便利である。 $Tr_5$ と $D_2$ は接触面積が広くなるように、エポキシ接着剤アラルダイトをたっぷり盛り上げる。

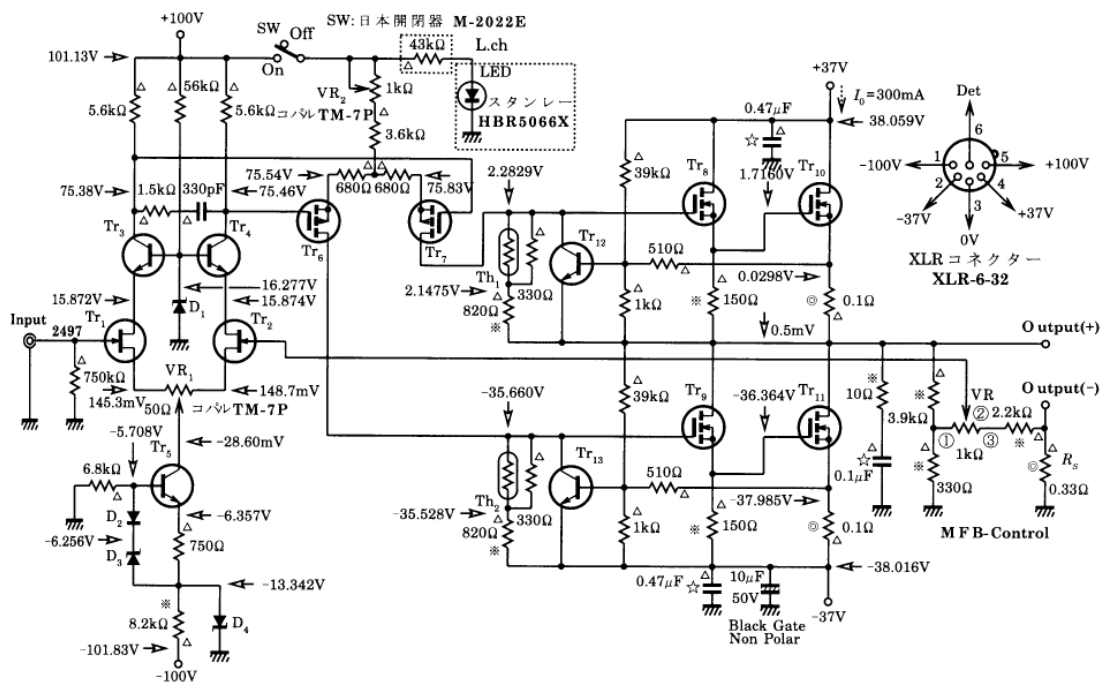
$Th$ と $Tr_{10}$ ,  $Th_2$ と $Tr_{11}$ の熱結合は基板配線後にする。まず $Th_1$ ,  $Th_2$ のリード線を基板孔に差し込み、基板から外れないように軽く折り曲げておく。 $Tr_{10}$ ,  $Tr_{11}$ のリード線間隔を基板ピッチに合わせてラジオペンチで広げる。次にリード線を緩やかなカーブを付けて直角に曲げる。リード線を基板孔に差し込み、基板面から4mmほど出して、基板に沿って折り曲げ、基板パターンにハンダ付けする。始めは中央のドレインを配線し、

次に両サイドのゲートとソースのバランスを見ながら配線する。

$Tr_{10}$ ,  $Tr_{11}$ を放熱器に絶縁マイカを挟んで取り付ける。このときマイカと $Tr_{10}$ ,  $Tr_{11}$ のフランジにシリコングリスを薄く均一に塗っておく。 $Th_1$ ,  $Th_2$ が $Tr_{10}$ ,  $Tr_{11}$ に密着するようにリード線を基板に沿って折り曲げ、パターンにハンダ付けする。 $Th_1$ ,  $Th_2$ と $Tr_{10}$ ,  $Tr_{11}$ の隙間に楊枝を使ってアラルダイトを塗りつけ、 $Th_1$ ,  $Th_2$ の上にもたっぷり盛り上げる。室温が低いときはアラルダイトが固くなっているので、ヒーターなどで暖め、柔らかくしてから使うといい。

### 基板

図87はアンプ基板、図88は出力段基板である。図89(a)は保護回路のDC検出基板である。この



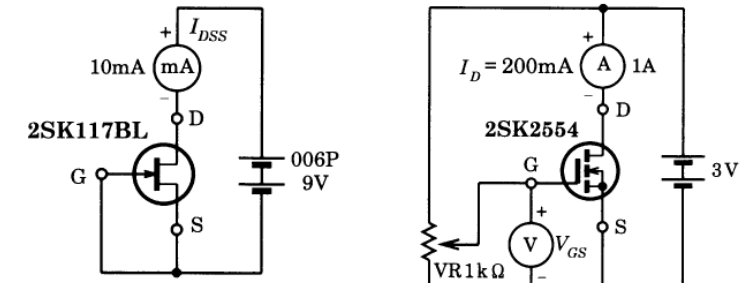
Tr<sub>1</sub>, Tr<sub>2</sub>: 2SK117BL, Tr<sub>3</sub>, Tr<sub>4</sub>, Tr<sub>5</sub>: 2SC1775A, Tr<sub>6</sub>, Tr<sub>7</sub>: 2SJ77, Tr<sub>8</sub>, Tr<sub>9</sub>: 2SK214, Tr<sub>10</sub>, Tr<sub>11</sub>: 2SK2554, Tr<sub>12</sub>, Tr<sub>13</sub>: 2SD756  
D<sub>1</sub>: HZ16C2, D<sub>2</sub>: 1S1588, D<sub>3</sub>: HZ6C2, D<sub>4</sub>: HZ13C2, Th<sub>1</sub>, Th<sub>2</sub>: 200D5A, Tr<sub>1</sub>とTr<sub>2</sub>, D<sub>2</sub>とTr<sub>5</sub>, Tr<sub>6</sub>とTr<sub>7</sub>, Th<sub>1</sub>とTr<sub>10</sub>, Th<sub>2</sub>とTr<sub>11</sub>は熱結合  
Tr<sub>10</sub>, Tr<sub>11</sub>は放熱器TF1208に取り付ける。※:スケルトン, ◎:福島双羽MPC74, ☆:AUDYN CAP(TRITEC) MKPQS

[図83] 4Ω負荷パワーアンプ

基板には-37V電源が必要だ。これはLチャンネルアンプ基板から引き込む。DC検出出力はXLRコネクターの6番ピンにつなぐ。

図90は保護回路制御部基板である。2.5mmピッチのICを4mmピッチの基板に配線するにはちょっとしたコツがある。2, 5, 10, 13番ピンをIC面に平行になるよう広げる。3, 6, 9, 12ピンを基板の孔に合わせて軽く曲げる。2, 5, 10, 13番以外のピンを基板に差し込みパターンにハンダ付けする。2, 5, 10, 13番ピンは7本撲り線を使って基板パターンに配線する。

2SK2554も出力段基板と同様にリード線を直角に折り曲げ、基板に配線する。この基板は裏面(パターン面)を上にして底板に取り付ける。2SK2554は絶縁マイカを介して電源部右サイドパネルに取り付ける。



[図84] 2SK117のI<sub>DSS</sub>測定

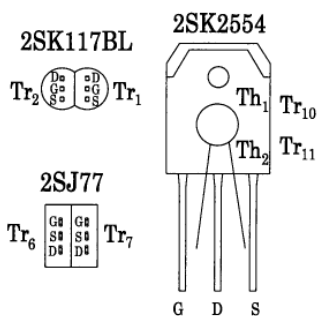
[図85] 2SK2554のV<sub>GS</sub>測定

ルに取り付ける。2SK2554のドレイン損失は極わずかだが、一応サイドパネルを放熱器として利用する。

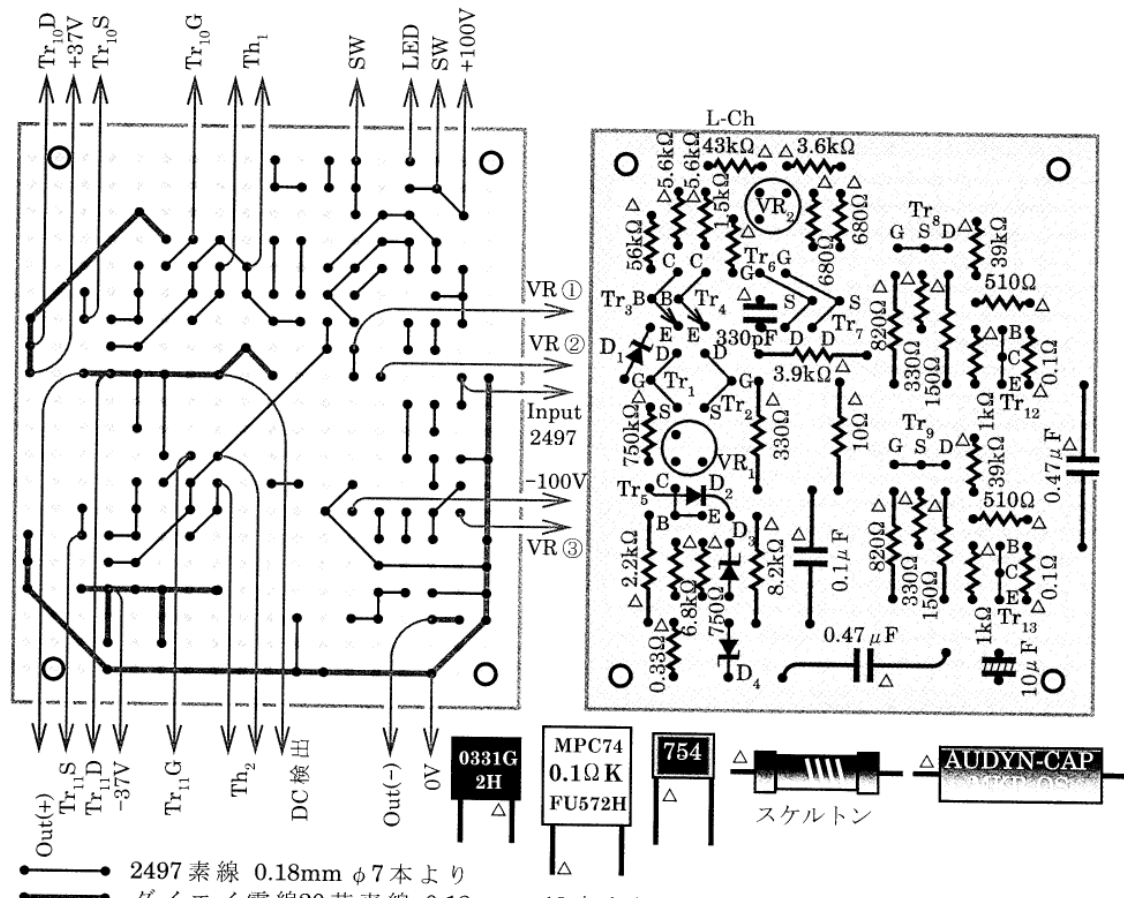
図91は+100Vダイオード基板、図92は-100Vダイオード基板である。

### ケースの加工

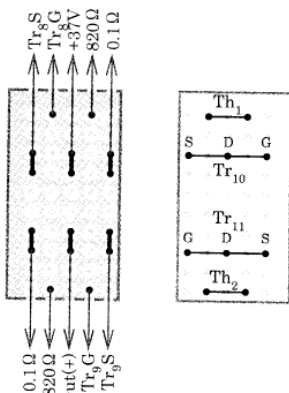
アンプ部のケースにはタカチ電機工業のOS49-26-33BXを使う。できるだけコンパクトに作るには



[図86] 熱結合図



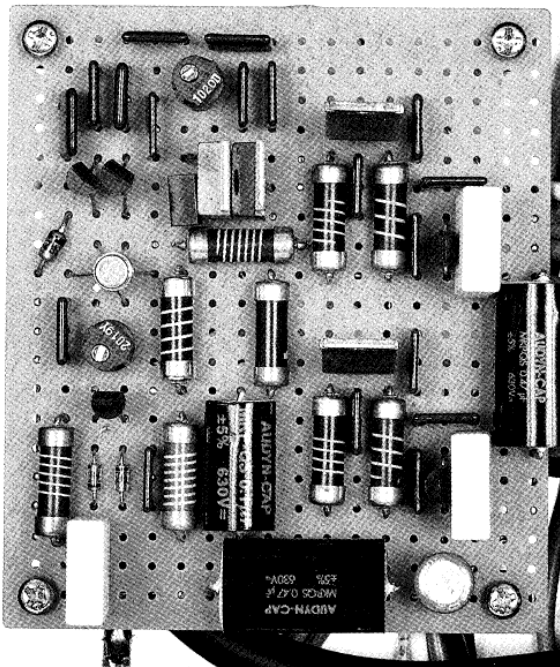
[図87] アンプ基板



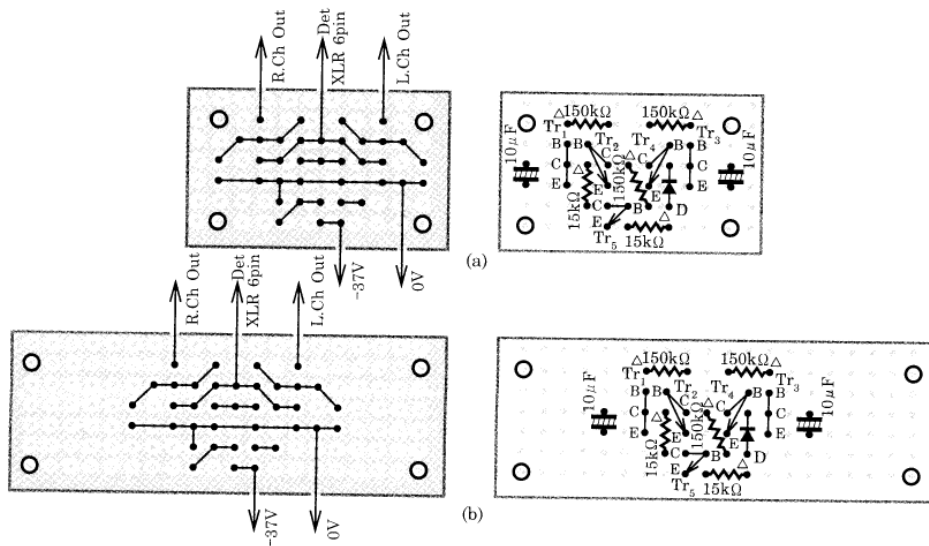
[図88] (a), (b)保護回路DC検出部基板

このケースがよい。将来ハイブリッドアンプに改良する予定ならOS70-26-33BXにする。この方が高さにゆとりがあり配線しやすい。

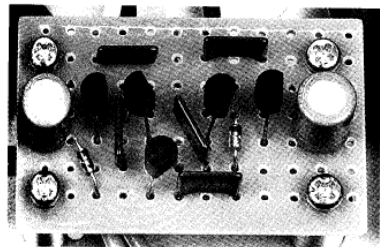
図93～96はアンプケース加工



アンプ基板上の部品配置。抵抗には進工業のプレート型金属皮膜抵抗RE55YGと福島双羽のスケルトン抵抗を使用。出力段をソースフォロードライブからダーリントン接続に変更したことで、ドライブ段2SK214の放熱器は省略している。



[図89] 出力段基板

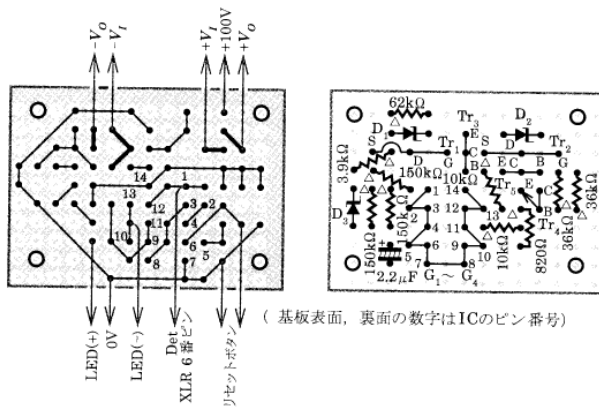


保護回路の出力端子DC検出部、1枚で左右2チャンネルの検出を行う

寸法である。リアパネルには電源用XLRコネクターが1個だけ取り付けてある。ハイブリッドにする予定があるのなら、2個並べて付ける。底板の放熱器位置にある10mm  $\phi$  の孔は**2SK2554**取り付け用ナット同じ用の孔である。この孔のおかげで放熱器固定後も**2SK2554**の取り付けが迅速にできるようになった。

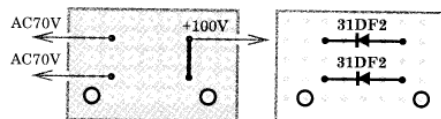
図97は放熱器孔加工図である。4角の3 mm  $\phi$  は底板に固定するための孔だが、その位置は特に正確にあける。

図98~101は電源のケース加工寸法である。重いパワートランジスタを支えるためにフロント、リアパネルと底板を多数の $\phi$  4 mm ネジ

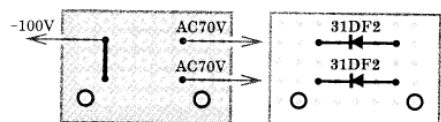


[図90] 保護回路制御部基板

[図91] +100Vダイオード基板



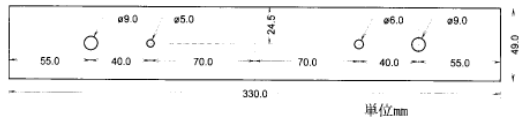
[図92] -100Vダイオード基板



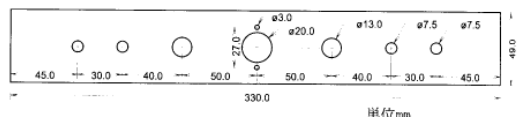
で固定し、その他に図102のボトムアンダーブルで補強する。しかし本機を方々に持ち運ぶ予定がないれば、これらの処理はしなくても良

い。

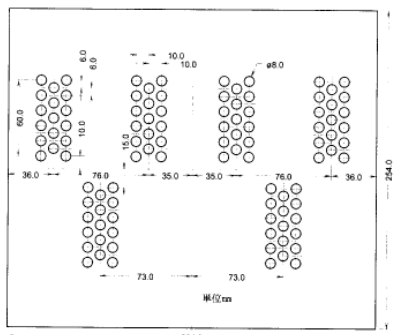
リアパネルには電源のフィルターコンデンサー(22000  $\mu$ F)以外に10pFモニカ端子を固定す



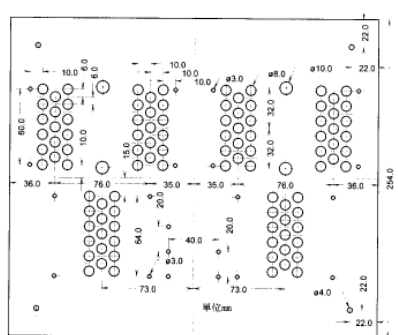
[図93] アンプフロントパネル



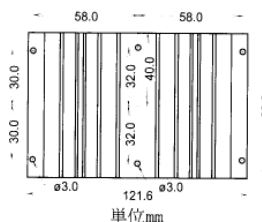
[図94] アンプリアパネル



[図95] アンプ天板



[図96] アンプ底板

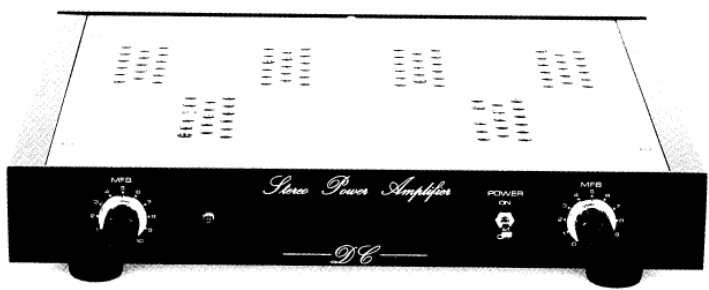


[図97] 放熱器孔加工

る。これは6.3Vヒーター巻き線2回路と±37V電源、それに保護回路Dett端子の中継に使う。

右サイドパネルには保護回路制御部を固定する。将来±100V電源に整流管を使う予定なら、ソケット取り付け孔と放熱孔を開けて置いた方がよい。天板はともかく、底板に後から孔をあけるのは大変だからである。寸法図はハイブリッドパワーアンプを参考にする。

右サイドパネルには保護回路のリセットスイッチと保護回路動作表示用LEDも配置する。アンプ設置状況の関係で左側が良い場合は左サイドパネルに固定しても良い。めったに使わない（頻繁に使



左右にMFBコントロールVRを配したフロントパネル。右側のスイッチは、アンプ回路の2段目以降の動作をオン・オフするミューティング兼用パワースイッチ

うようでは困る）LEDとリセットスイッチだ。目立たない位置に取り付けよう。

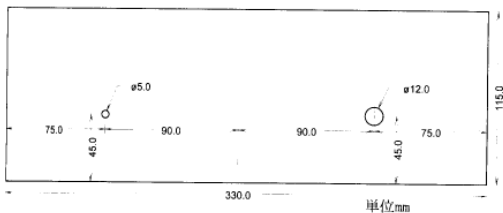
### 配線方法

電源部のダイオードブリッジには配線コードを直接ハンダ付けする。ネジ端子型電解コンデンサーは圧着端子で配線する。配線コードにはダイエイ電線を場所によって使いわける。トランジスト1次側と±37V整流回路は50芯、±100V整流回路は20芯、±V<sub>t</sub>は50芯、±V<sub>d</sub>は30芯とする。いずれもエネルギーの流れに沿って、コ

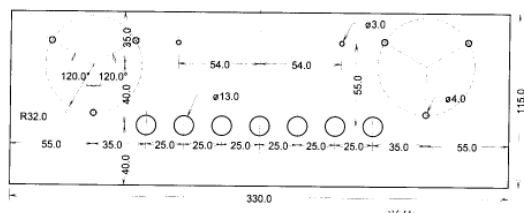
ード表面の印刷“DAIEI”の“D”をエネルギー源側にする。

整流回路の配線が済んだら、整流出力電圧をチェックする。

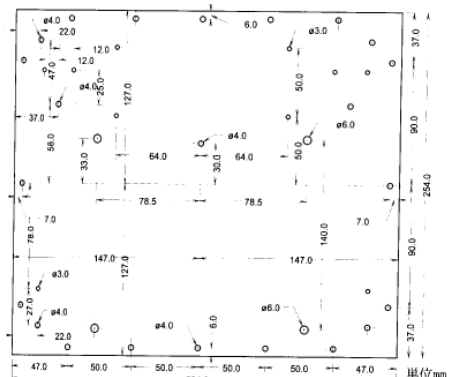
アンプ部を手際よく配線するには次のようにすればよい。まずフロント、リアパネルとサイドパネルを固定してから、XLRコネクターの配線をする。6ピンコネクターのピン間隔は狭い。隣同士がショートしないよう十分に気を付ける。L, Rチャンネル用の2本のリード線を撚り合わせて、予備ハンダをしてコネクターにハンダ付けする。配線済みの線が次に配線



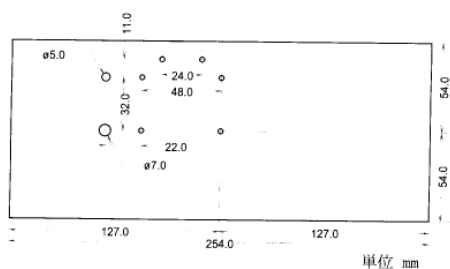
[図98] 電源フロントパネル



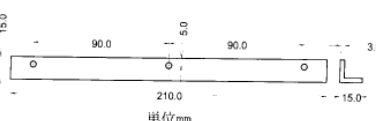
[図99] 電源リアパネル



[図100] 電源底板



[図101] 電源ライトサイドパネル



[図102] 電源ボトムアングル

する線の邪魔にならないように、ピンの順番を考えて配線する。

アンプ基板と出力段基板間の配線は、まずアンプ基板にリード線を配線する。次にアンプ基板を所定の位置からフロントパネルの方向に4mm～5mmほどずらした位置に置き、出力段基板の配線をする。リード線に多少ゆとりを持たせるためだ。

続いてXLRコネクターとアンプ基板間、スピーカー端子とアンプ基板間の配線をする。次にアンプ基板を垂直に立てた位置に保ちつつ、MFBボリュームと基板間、スイッチと基板間の配線をする。

最後に入力ピンジャックと基板間の配線をする。ケーブルはモガミ電線2497。その向きはケーブル表面の印刷で、“MOGAMI”的“M”をピンジャック側にする。2497は太くて固く配線が大変だが、次のように配線すると良い。

まず2497を基板に配線し、基板を底板に固定してから放熱器のフィンの間に2497を通し、入力ピンジャックの位置で長さを決め、ピンジャックに配線する。

なお、シャシーアースはLチャンネル基板からシャシーに落とす。

## 調整方法

### 電源部

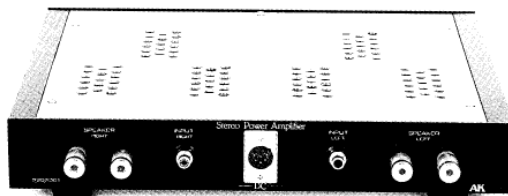
電源部の調整は整流回路、保護

回路制御部の順にやる。整流回路は配線の都度チェックをしているので問題ないはずだ。

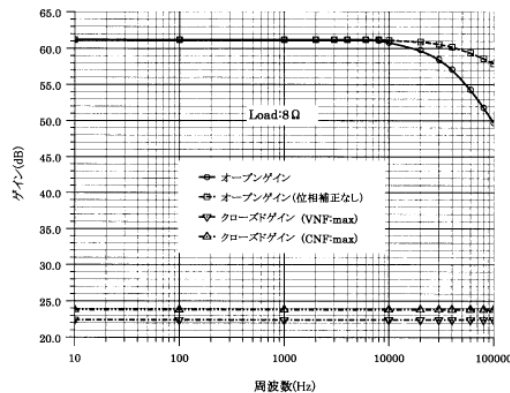
(1)保護回路を配線し、電源をオンにして $+V_o$ ,  $-V_o$ が正常(±37V)に出ていればよい。

(2)XLRにプラグ6番ピンをリード線でアースに一瞬タッチする。保護回路が動作し、LEDが点灯し、 $+V_o$ ,  $-V_o$ が0Vになればよい。

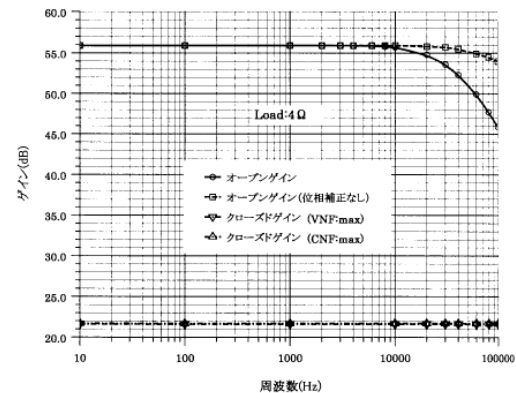
(3)いったん電源をオフにして、



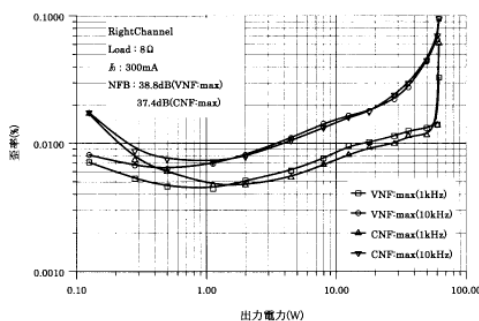
左右対称配置のリアパネル。中央には、電源部からの給電と保護回路DC検出部の信号伝達用6ピンXLRコネクターを設置



[図103] ゲイン周波数特性（8 Ω 負荷）



[図104] ゲイン周波数特性（4 Ω 負荷）



[図105] 出力電力対歪率特性（8 Ω 負荷）

リセットボタンを押す。 $+V_o$ ,  $-V_o$ が正常値に戻ればOKだ。

## アンプ部

アンプの調整前に、VR<sub>1</sub>をセンター、VR<sub>2</sub>を左一杯にセットする。アンプ出力とDC検出回路間の配線は外しておく。入力ピンジャックにはショートプラグを入れ、スピーカー端子には8 Ω ダミーロード（56 Ω 5 W 酸化金属被膜抵抗7本バラ接続）をつなぐ。調整するチャンネルのアンプ基板と±37V電源間には1 Aのヒューズを入れ、さらに+37V電源と出力段基板間に $I_o$ 測定用としてフルスケール1 Aの電流計を入れる。他のチャンネルの±37V電源は接続しないでおく。

(1)電源を入れ、オフセット電圧 $V_0$ を測る。 $V_0$ が0 Vになるように

VR<sub>1</sub>を調整する。

(2)VR<sub>2</sub>を慎重に右に回転する。 $I_o$ が次第に増えるのでこの値が300mAになるように調整する。

(3)VR<sub>1</sub>で $V_o$ の再調整する。 $I_o$ は時間と共に少々増えるので、天板を乗せて、30分くらい様子を見てから $I_o$ を300mAに合わせる。

(4)調整が済んだら電流計を取り除いて回路を正規につなぎ、多チャンネルの調整をする。本機は電源オン時に $I_o$ が大幅に増加する事はない。出力FETのドレイン損失に余裕があり、温度補償が有効に働いているからだ。

(5)最後にDC検出回路のチェックをする。検出回路入力とアース間に1.5Vの電池をクリップコードで一瞬タッチする。保護回路が働いてLEDが点灯すれば良い。

(6)一旦電源をオフにして、リセ

ットボタンを押し、再度電源をオンにする。電池の極性を反対にして、同様のチェックをし、OKなら他チャンネルについてもチェックをする。全てOKならDC検出回路をアンプ出力に接続する。

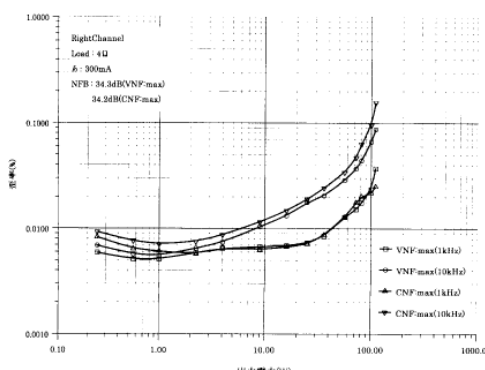
## 本機の特性

### ゲイン周波数特性

図103は8 Ω 負荷時のゲイン周波数特性だ。一見して感じることはオープンゲインAの帯域の広さである。61.2dBというハイゲインにも関わらず、カットオフ周波数fc (-3dB) は92kHzである。この特性は出力端子の10 Ω と0.1 μF (これらの $f_c$ は159kHz) の影響を受けている。アンプ自体はもっと広帯域だ。一般にAを小さくすれば、 $f_c$ は高くなる。本機はハイゲインと広帯域が両立している所に意義がある。

位相補正を入れると $f_c$ は32kHzに下がる。この特性は図60で求めたステップ型位相補正の特性と一致する。アンプ自体の帯域が広ければ、位相補正もやりやすく、NFBに対する安定度も高い。

クローズドゲイン $A_{NF}$ はVNF: max (電圧帰還最大), CNF: max (電流帰還最大) のいずれも100kHzまで完全にフラットだ。



[図106] 出力電力対歪率特性（4Ω負荷）

図104は4Ω負荷時のゲイン周波数特性である。Aは55.9dBになった。完全対称アンプのAは $Z_L$ に比例することがわかる。中低域のAに対して100kHzでは-1.9dB、実に広帯域特性だ。

$A_{NF}$ はもちろん100kHzまで完全フラット。A、 $A_{NF}$ の両特性が極めて素直なことも大切だ。

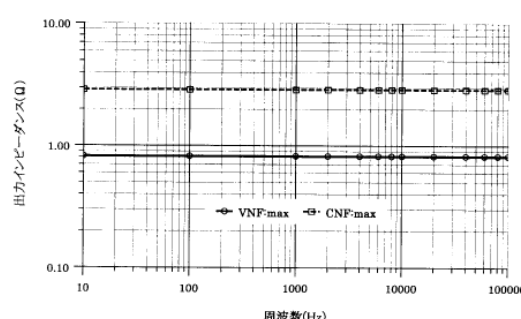
#### 出力電力対歪率特性

図105は8Ω負荷時の出力電力対歪率特性だ。最大出力電力は62.1W。全体に低歪率で、しかも周波数による差が比較的少ない素直な特性だ。特にVNF:maxとCNF:maxの特性は平行しており、NFB量の差だけの特性差だ。

図106は4Ω負荷時の出力電力対歪率特性だ。最大出力電力は110Wに増加し、周波数による差もVNF:maxとCNF:maxの差も一層少なくなった。実に満足すべき素直な特性だ。

#### 出力インピーダンス周波数特性

図107は出力インピーダンス周波数特性である。VNF:max時では0.82Ω、CNF:max時では2.90Ωで共に100kHzまで完全にフラットだ。理想的特性と言って良い。出力インピーダンスの変化範囲も



[図107] 出力インピーダンス周波数特性

4Ω、8Ωのスピーカーに対して適正範囲である。

#### 外部放熱型パワーアンプ

前記のパワーアンプでは1個の放熱器に2個のパワーFETを取り付け、放熱器はケースの内部で底板に固定した。放熱器の熱がケースに伝達して、ケースも放熱器の働きをす。4Ωという低負荷インピーダンスにも対応でき、サイズの割に高出力電力を得ることができた。

今度はもっと放熱効果が高く、しかも配線、調整がやりやすく、実験や改良がスムーズにできるケース構造のアンプを紹介しよう。

本機では放熱器をケースのサイドに取り付けてケースの一部として使用する。この方法はケースが外気と接するので放熱効果が高く、ケースの内部スペースを広くできるメリットがある。さらに共振しやすいサイドパネルがないので、耳障りな共鳴音を出さずに済む。

本機のケースにはタカチ電機工業のOS99-26-33BXを使う。図108~111はケースの加工寸法図である。

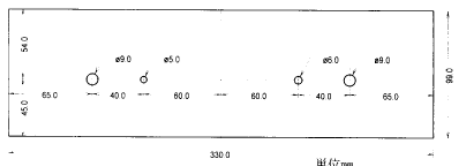
放熱器TF1208は図112のように孔加工をする。ただし4mmφ

の孔は初めはφ3.2mmで開けておく。また放熱器上下部の孔にφ4mmのタップを切っておく。これはアングルの固定用である。図113のアッパー・アングルには10mm角L型アングル（タカチ電機工業H-1）、図114のローワー・アングルには15×20×15mm角のZ型アングル（タカチ電機工業H-172）を使う。アッパー・アングルとローワー・アングルで2個の放熱器の上下を固定する。これで強固なサイド放熱器ができ上がる。

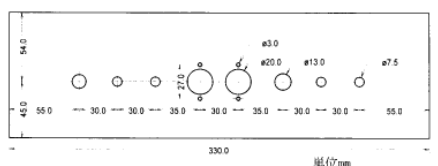
ケースを組み立てから放熱器をケースの接触部に両面テープを張り付けて仮固定し、放熱器から固定金具の支柱にφ3.2mmの通し孔を開ける。この方法は現物合わせだが、放熱器と対応する支柱にマークを付けておく。放熱器の上下を入れ替えると孔位置が合わなくなるからだ。

放熱器をケースから外し、支柱にφ4mmのタップを切り、放熱器の固定ネジとする。放熱器のφ3.2mmの孔をφ4mmに開ける。これで放熱器をφ4mmのビスでケースに固定できる。固定板と支柱の外部から見える部分とビスは黒の塗装する。

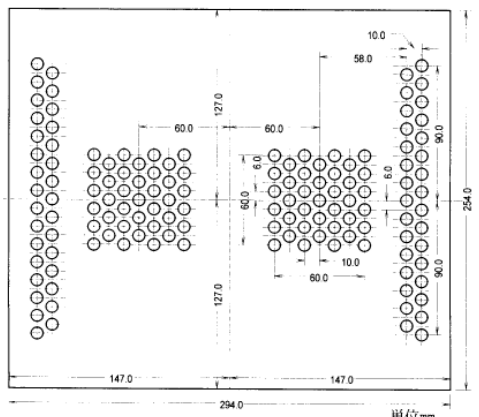
ローワー・アングルには図115のボトム・アングル（タカチ電機工業



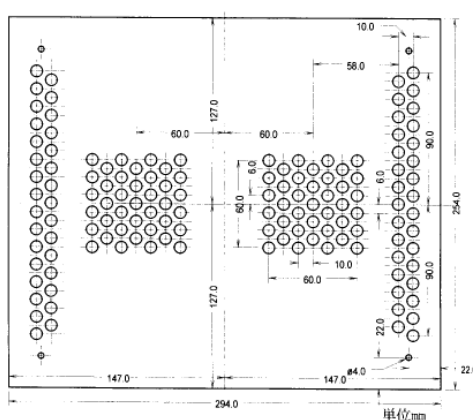
[図108] アンプフロントパネル



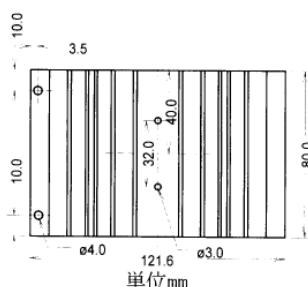
「図109」アンプリアパネル



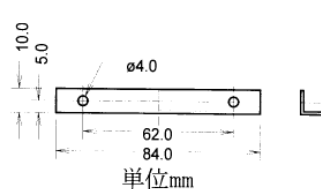
[図110] アンプ天板



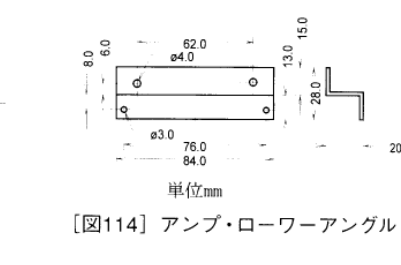
[図111] アンプ底板



[図112] 放熱器孔加工



[図113] アンプ・アッパー・アングル



[図114] アンプ・ロー・ワーアングル

H-1) を35mmメタルサポートで取り付ける。ボトムアングルに基板取りつけ用の25mmサポートを固定する。これに基板を吊り下げる。この方法で底板には固定するものがなく、単なるカバーになる。そのためアンプの裏配線が自由にでき、合理的な最短距離配線ができる。

保護回路DC検出基板は図89(b)のように幅の広いサイズとする。

## 2Ω負荷パワーアンプ

スピーカーのインピーダンスが

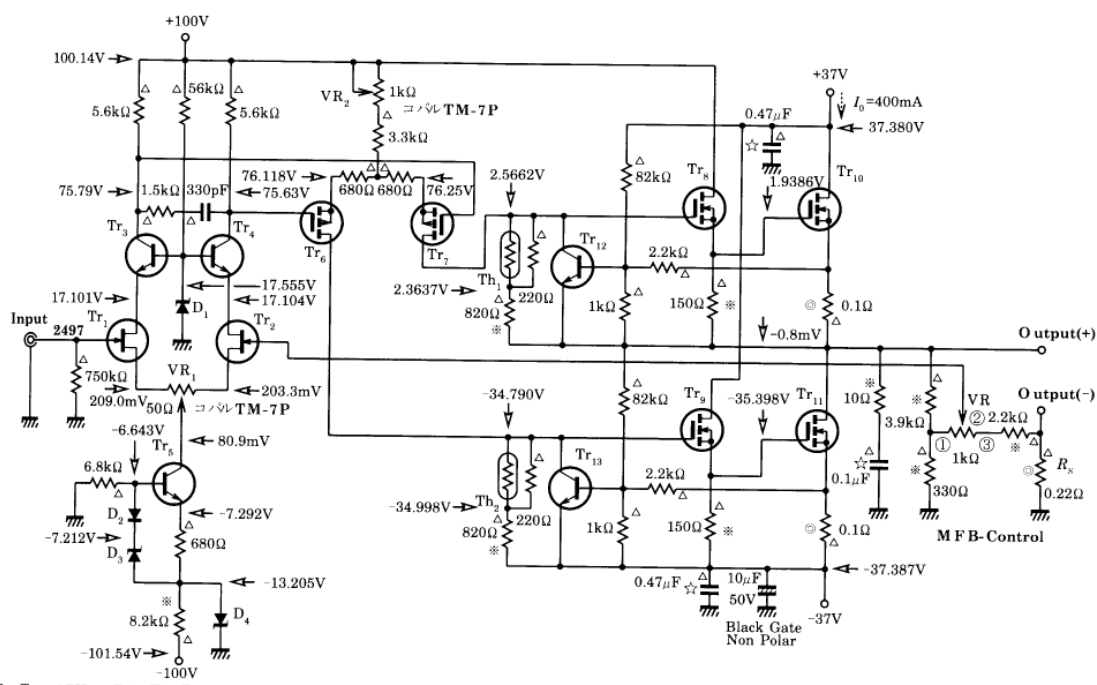
低くなるのは世界的な傾向だ。これが音質を追求した結果なら話はわかる。しかし実際はスピーカーの能率を犠牲にして周波数特性をフラット化するために、ハイパワーアンプでドライブしないと、実用にならないというのが実状だ。

半導体アンプでは電源電圧が一定なら、負荷インピーダンスが低いほど最大出力電力が大きくなる。だからスピーカーのインピーダンスを低くした

と言ってもオーディオ用パワー  
デバイスでは大電流に対応するの  
は難しく、複数個をパラ接続して  
動作させるしかない。

しかしパラ接続では音が変わ  
る。パワー・デバイスの特性バラツ  
キで互いに負荷になり、動作を鈍  
くするからだ。

低負荷インピーダンスには大電流型MOS-FETが威力を發揮する。たった1個のデバイスから300Aもの驚異的な電流を取り出



Tr<sub>1</sub>, Tr<sub>2</sub>: 2SK117BL, Tr<sub>3</sub>, Tr<sub>4</sub>, Tr<sub>5</sub>: 2SC1775A, Tr<sub>6</sub>, Tr<sub>7</sub>: 2SJ77, Tr<sub>8</sub>, Tr<sub>9</sub>: 2SK214, Tr<sub>10</sub>, Tr<sub>11</sub>: 2SK2554, Tr<sub>12</sub>, Tr<sub>13</sub>: 2SD756  
D<sub>1</sub>: HZ18C2, D<sub>2</sub>: 1S1588, D<sub>3</sub>: HZ6C2, D<sub>4</sub>: HZ13C2, Th<sub>1</sub>, Th<sub>2</sub>: 200D5A, Tr<sub>1</sub>とTr<sub>2</sub>, D<sub>2</sub>とTr<sub>6</sub>, Tr<sub>6</sub>とTr<sub>7</sub>, Th<sub>1</sub>とTr<sub>10</sub>, Th<sub>2</sub>とTr<sub>11</sub>は熱結合  
Tr<sub>10</sub>, Tr<sub>11</sub>は放熱器TF1208に取り付ける ※:スケルトン, ①:福島双羽 MP C74, ②: AUDYN CAP(TRITEC) MKPQS

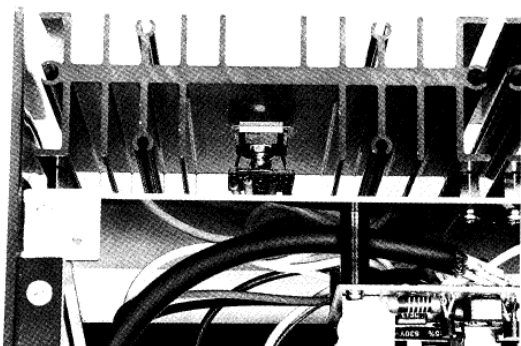
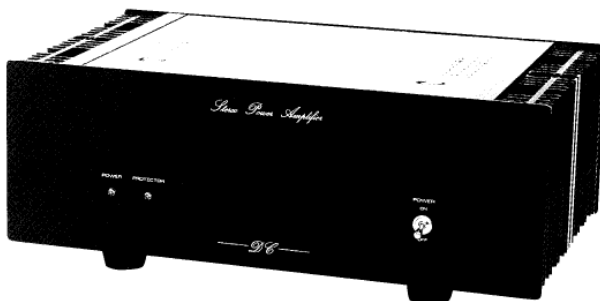
[図116] 2 Ω負荷パワーアンプ

せるのだ。超低インピーダンススピーカーでは大電流型MOS-FETの独断場と言っても過言でない。

ちなみに私はコンクリートホーン用スピーカー（アルテック416-8Aウーファーを4本パラ接続で2 Ω）のドライブアンプに2 Ω対応パワーアンプを使っている。私のオーディオ仲間にはオールホーン党が圧倒的に多く、ウーファーは2 Ω対応のアンプで鳴らしている。高音、中音が真空管DCアンプでも低音は大電流型アンプに敵うアンプがないからだ。

図116は2 Ω負荷パワーアンプである。基本構成も回路定数も4 Ω負荷アンプと変わりない。ただドライブ段はSFだ。出力FETを飽和領域までドライブできるので、最大出力が増えている。大出力電流にはドライブ電圧も高くなるので、SFが必然的になる。

サイドパネルへの放熱器の取り付けのようす。大型の放熱器に大電流型MOS-FETを1個だけ取り付ける



SFドライブでは出力段電源と独立した高圧電源が必要だ。本機では電圧増幅段の電圧でSFを効率よく動作させている。

### 電源部

低負荷インピーダンス用パワーアンプは電源一体型がよい。大電流が流れる電源ケーブルはなるべ